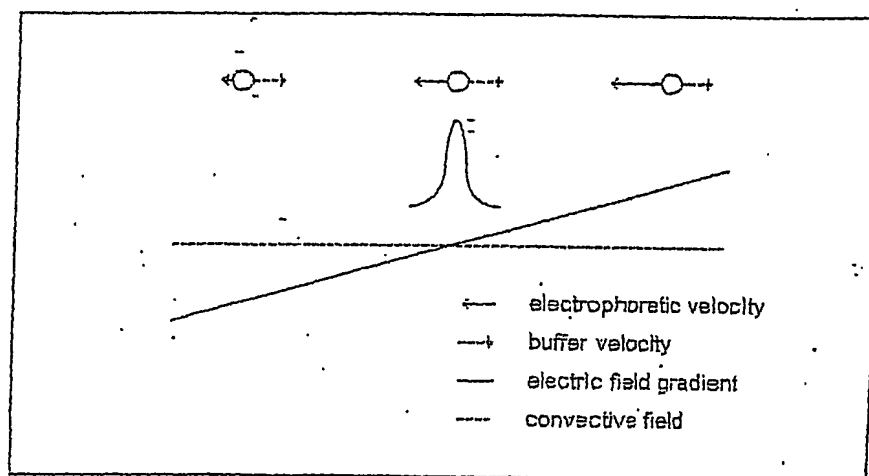
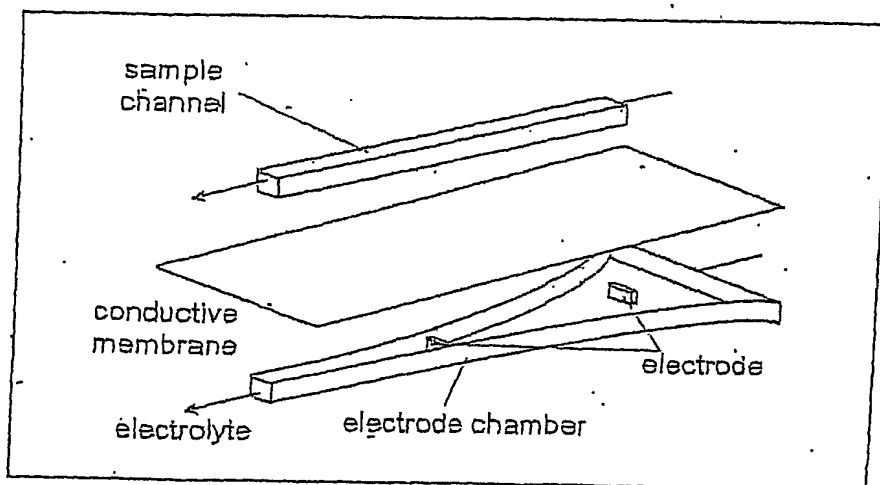


FIG. 1



**FIG. 2**

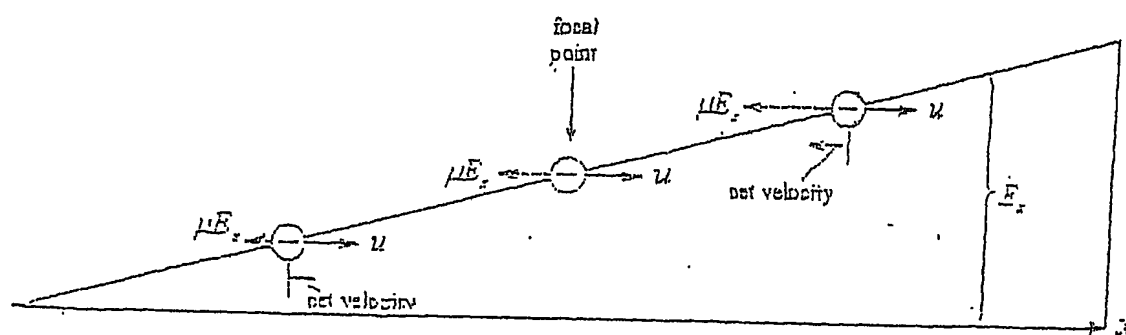


FIG. 5



FIG. 6

FIG. 7A

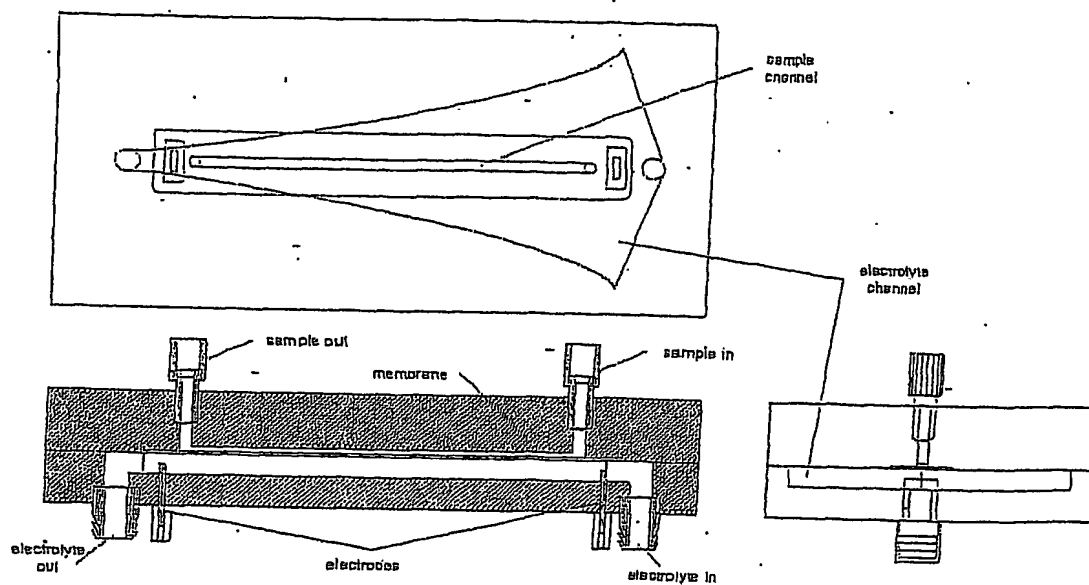


FIG. 7B

FIG. 7C

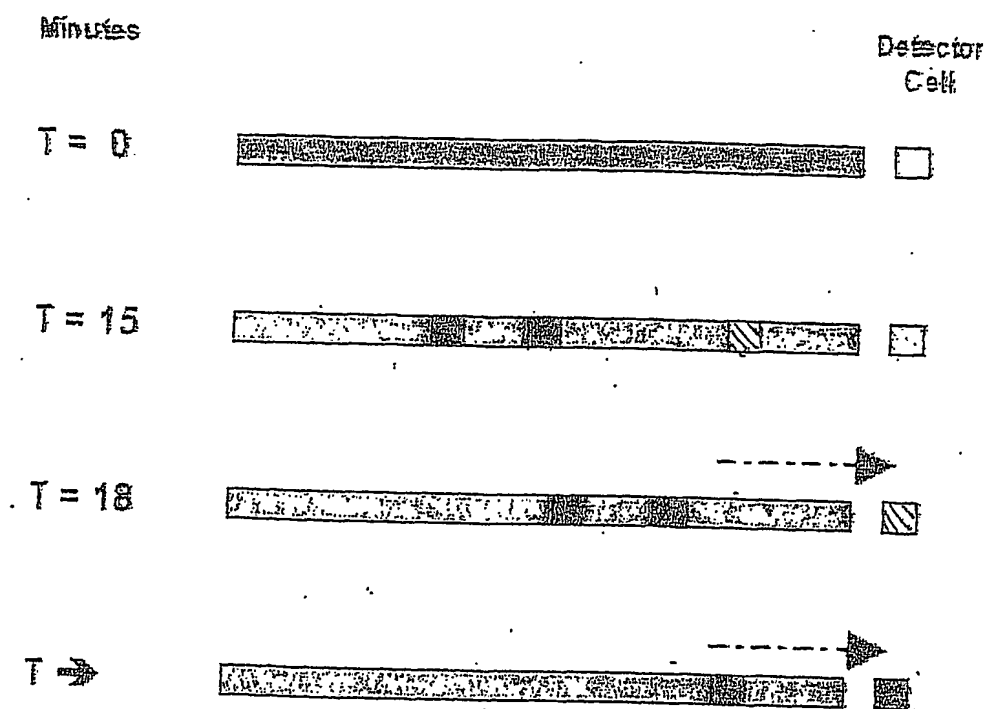


FIG. 10

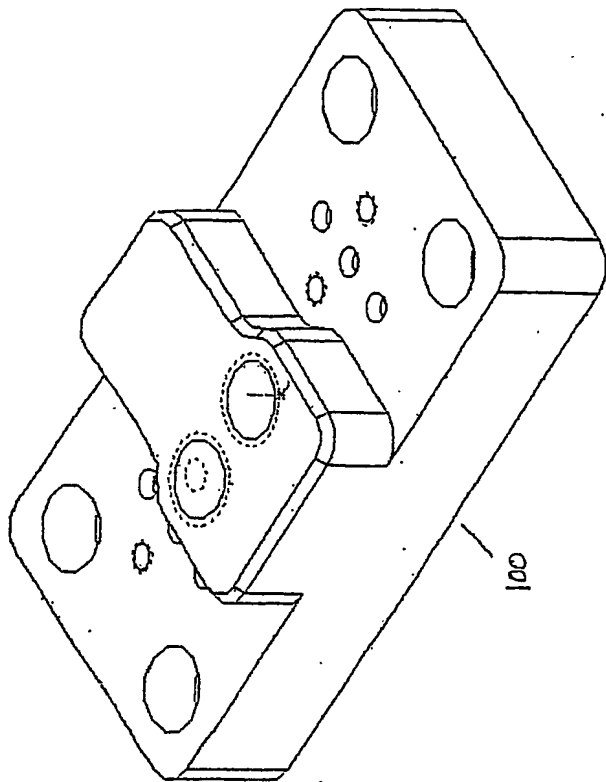
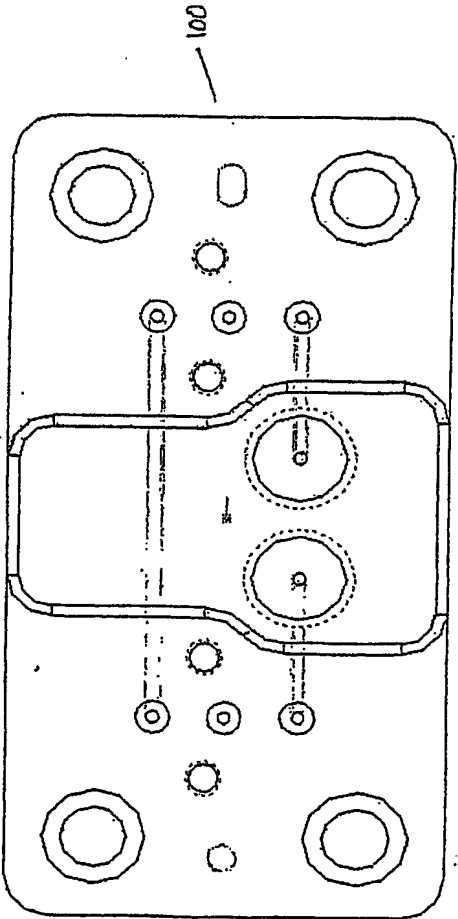


FIG. 11B

FIG. 11A



100

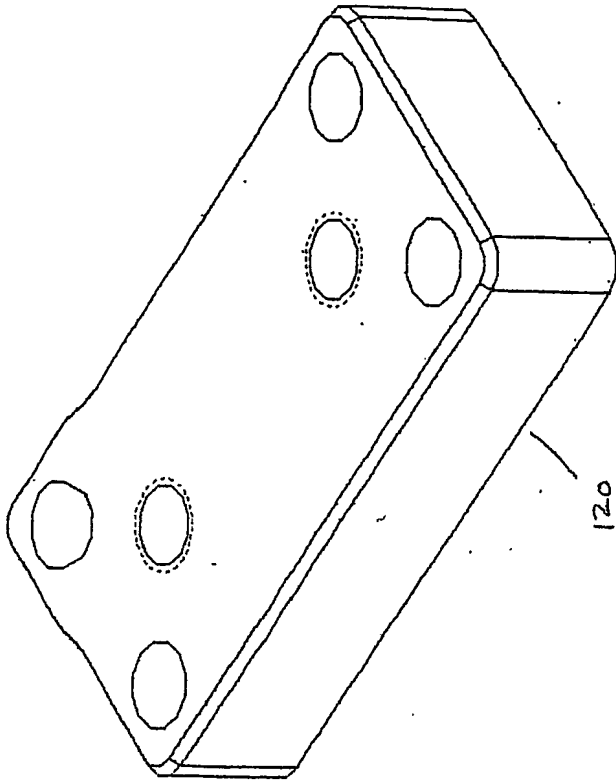


FIG. 12B

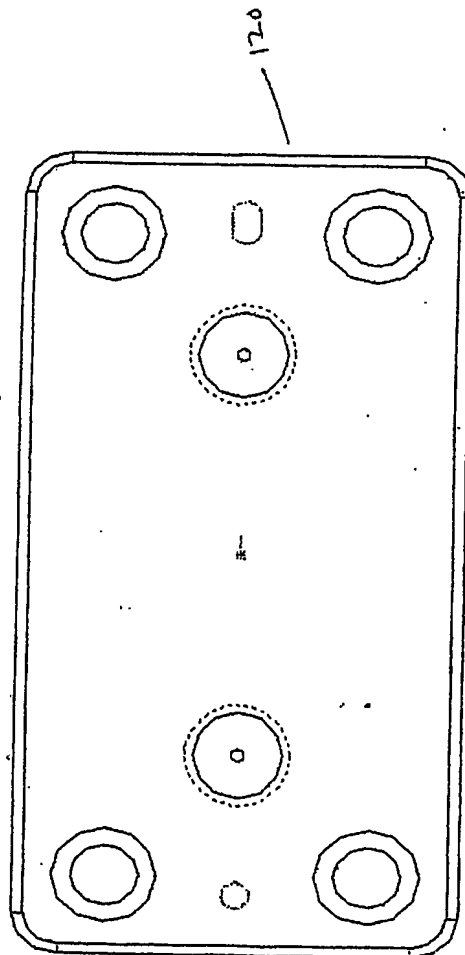


FIG. 12A

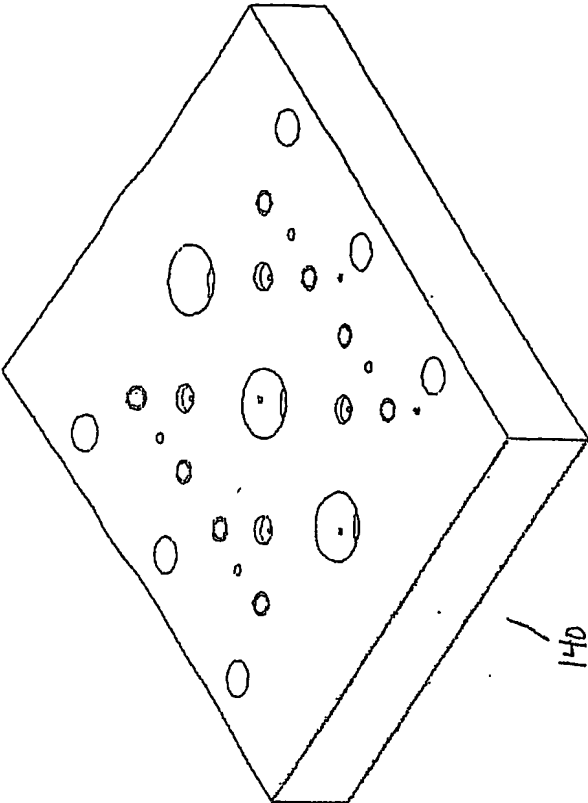
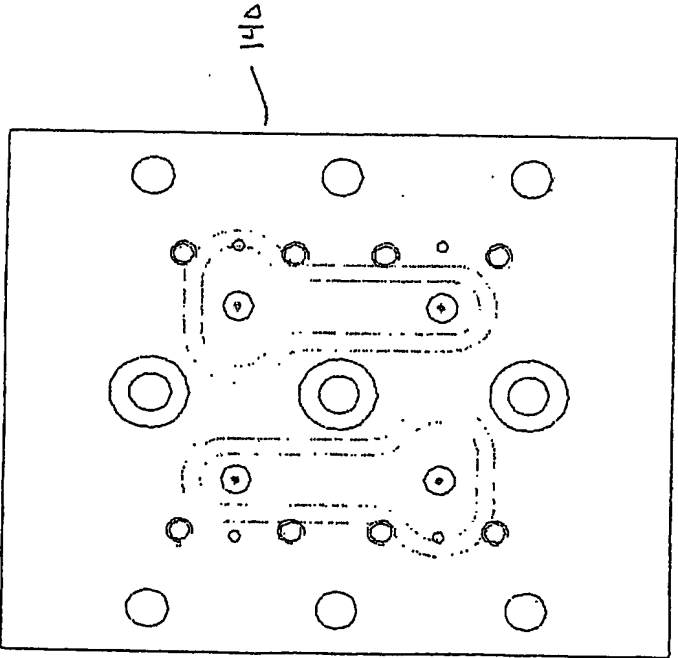


FIG. 13B

FIG. 13A



14a

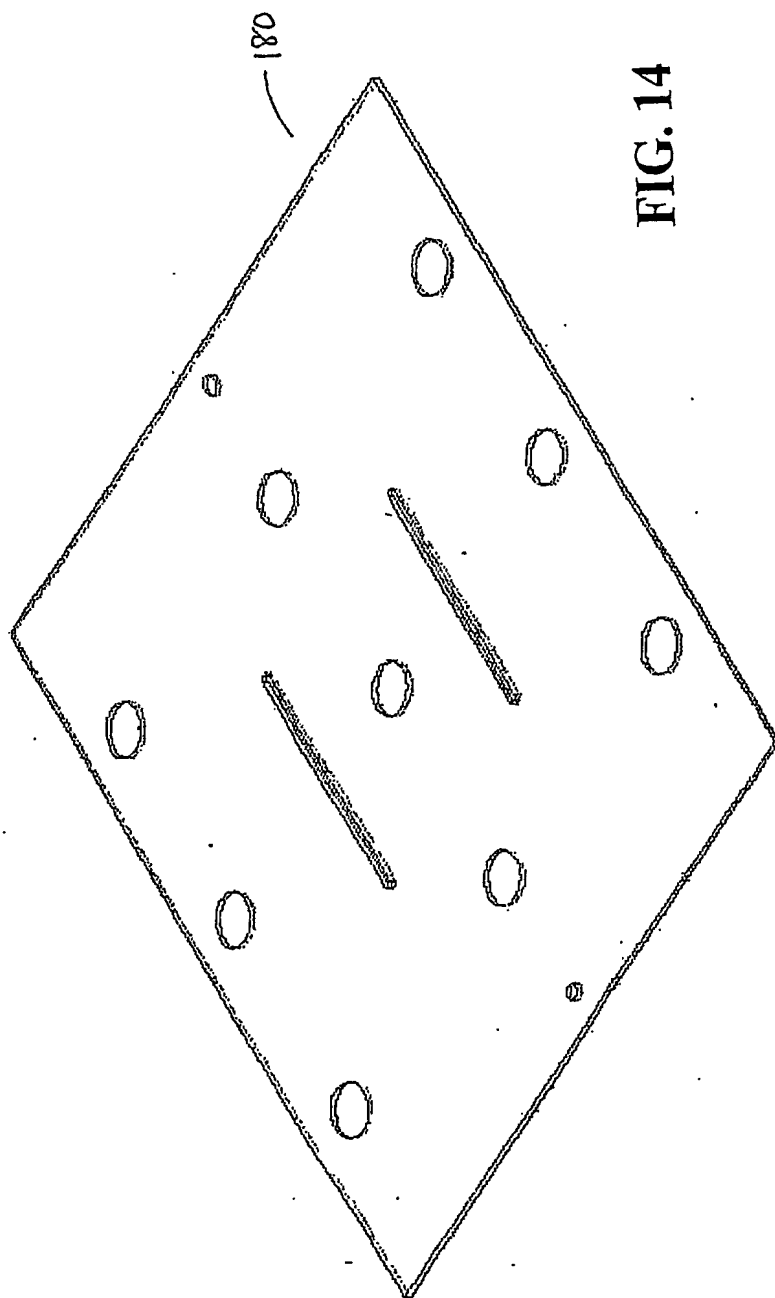


FIG. 14

FIG. 15A

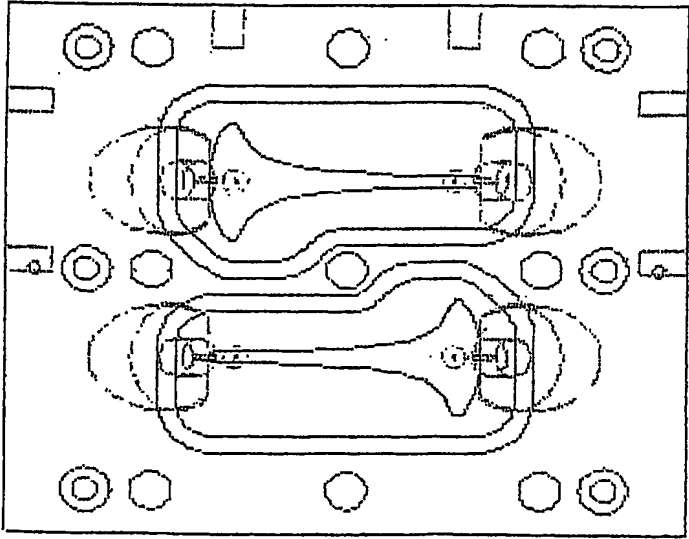
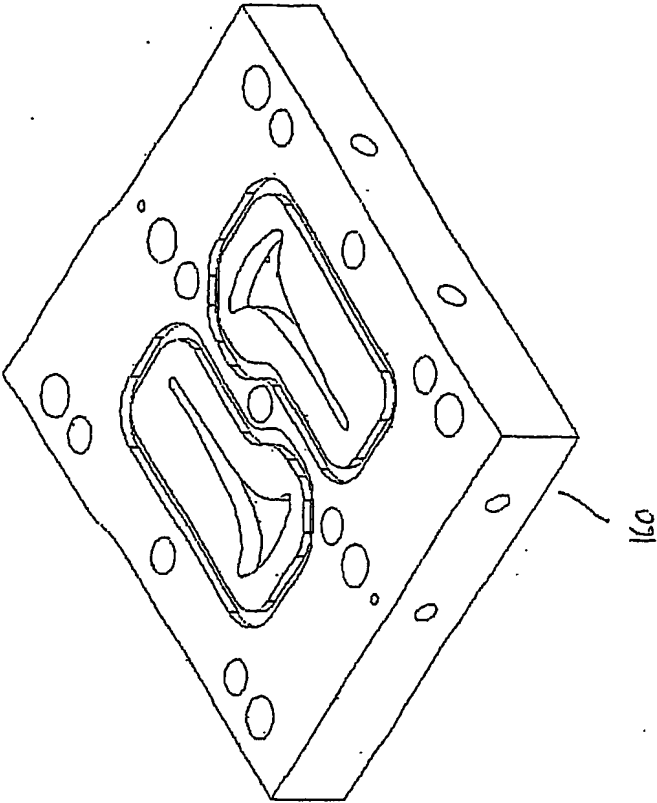
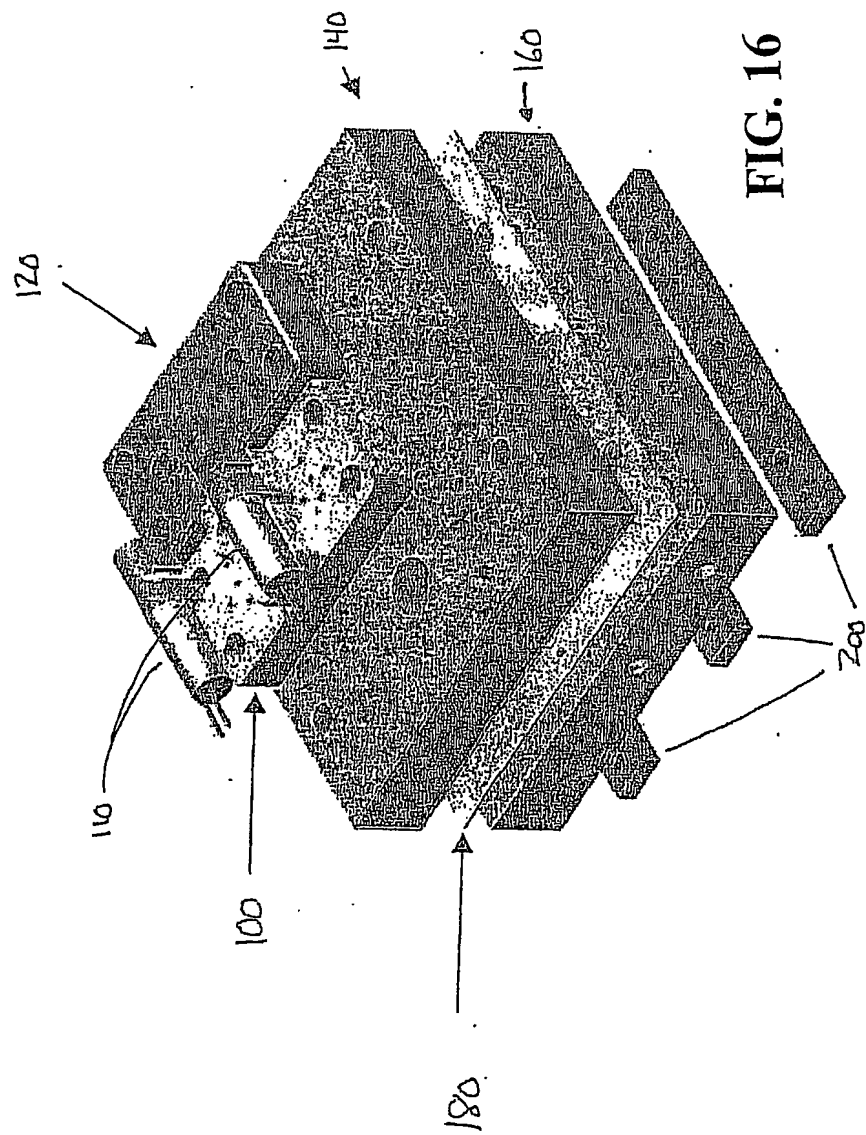


FIG. 15B





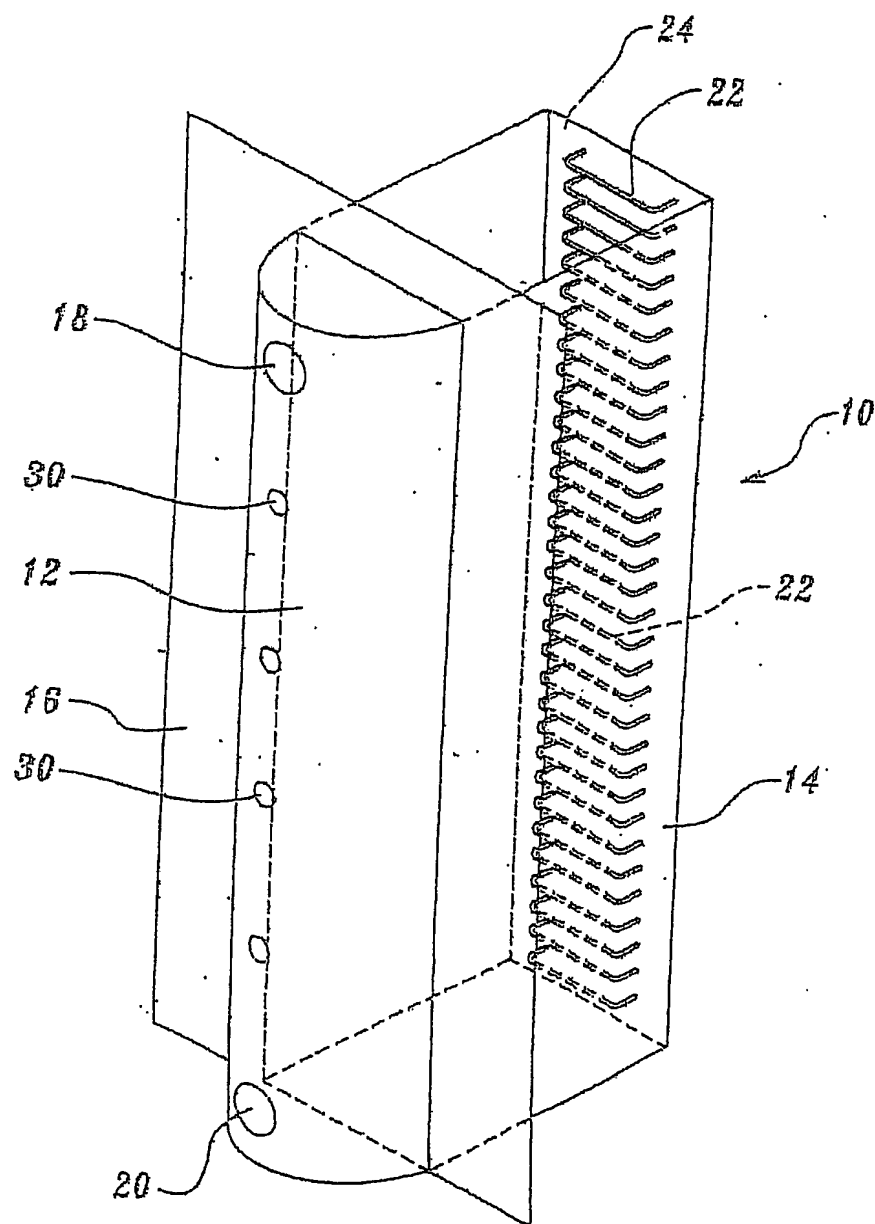


FIG. 20

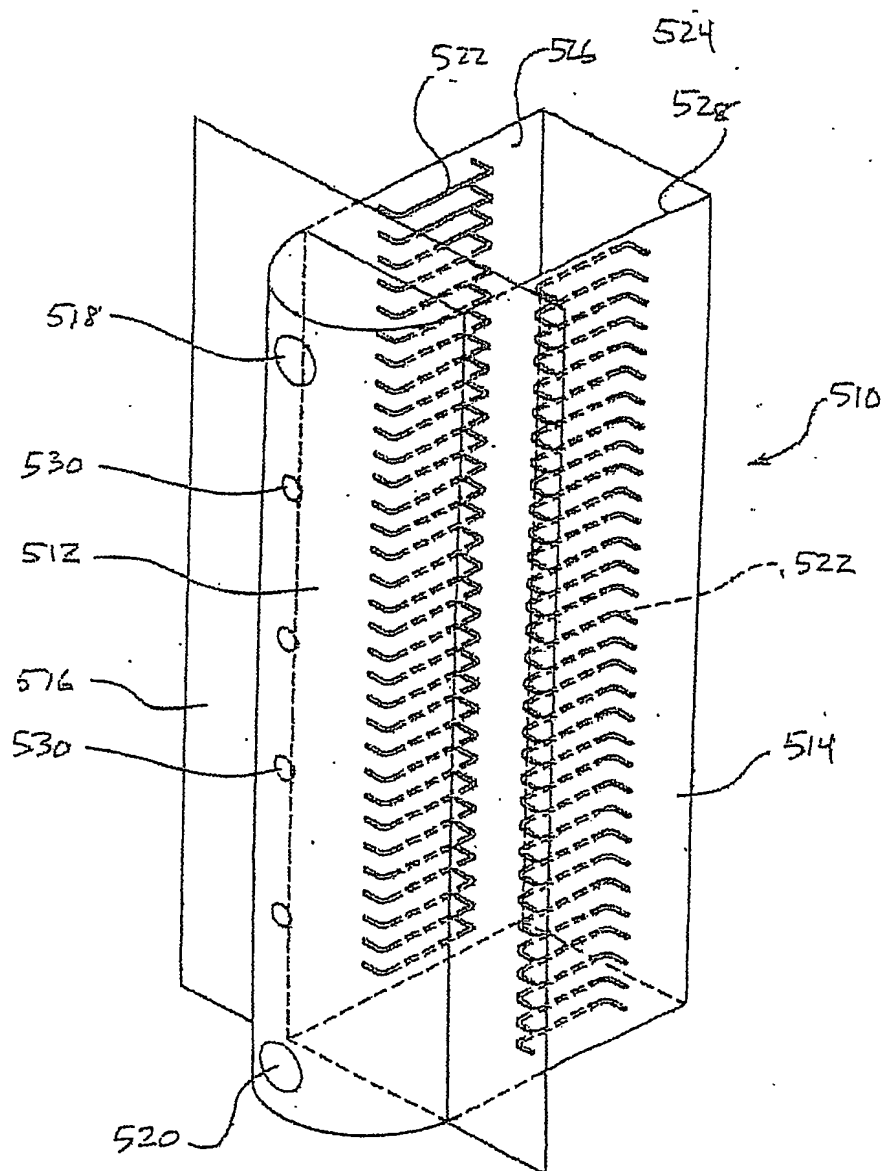
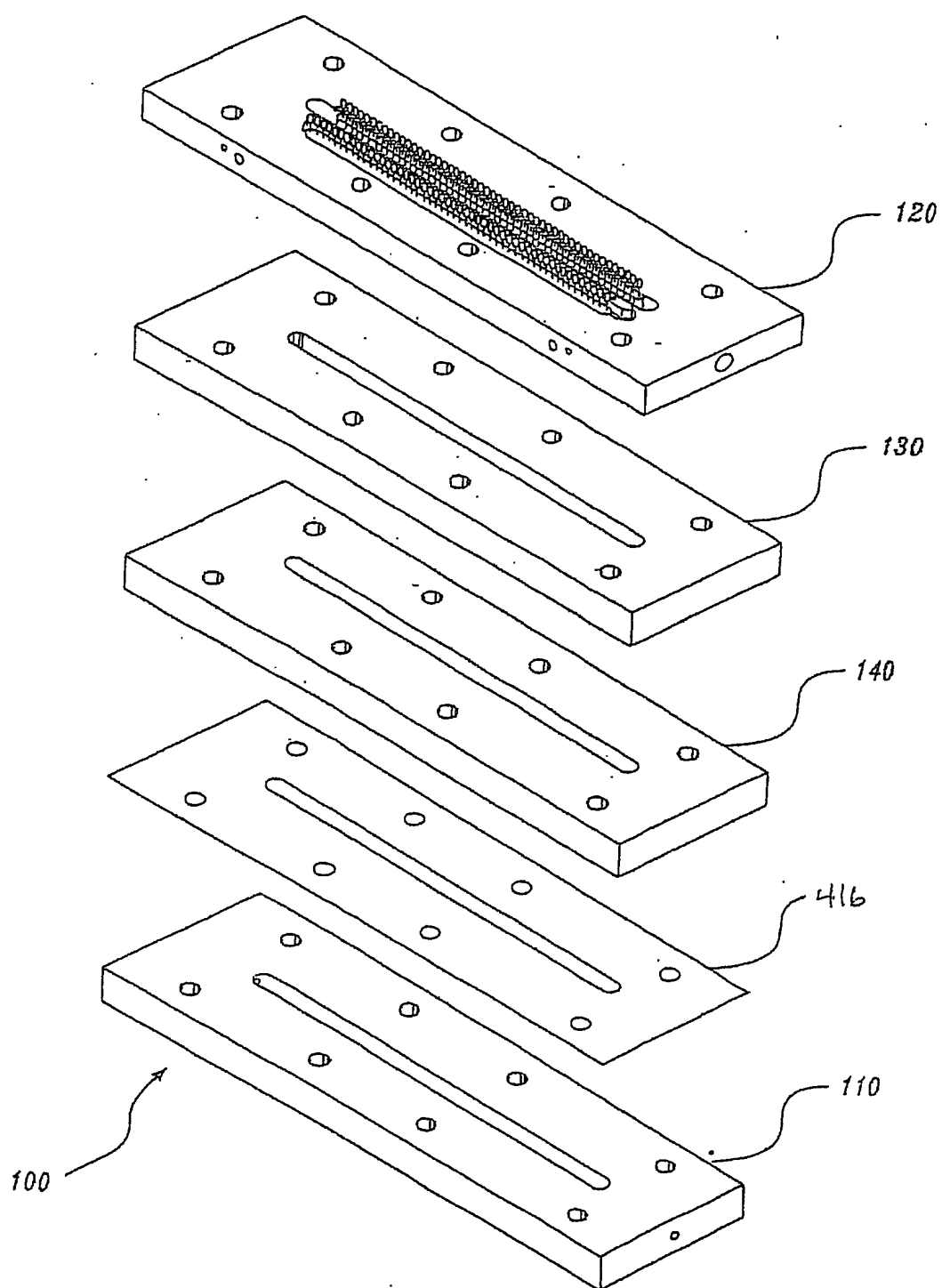
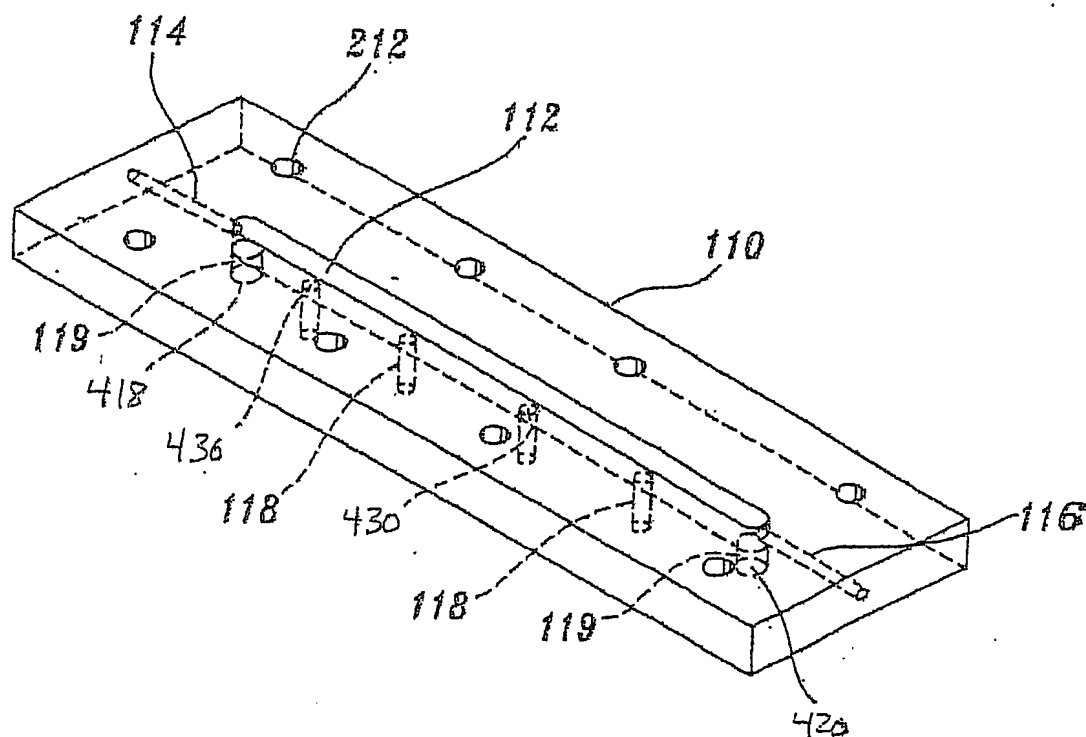
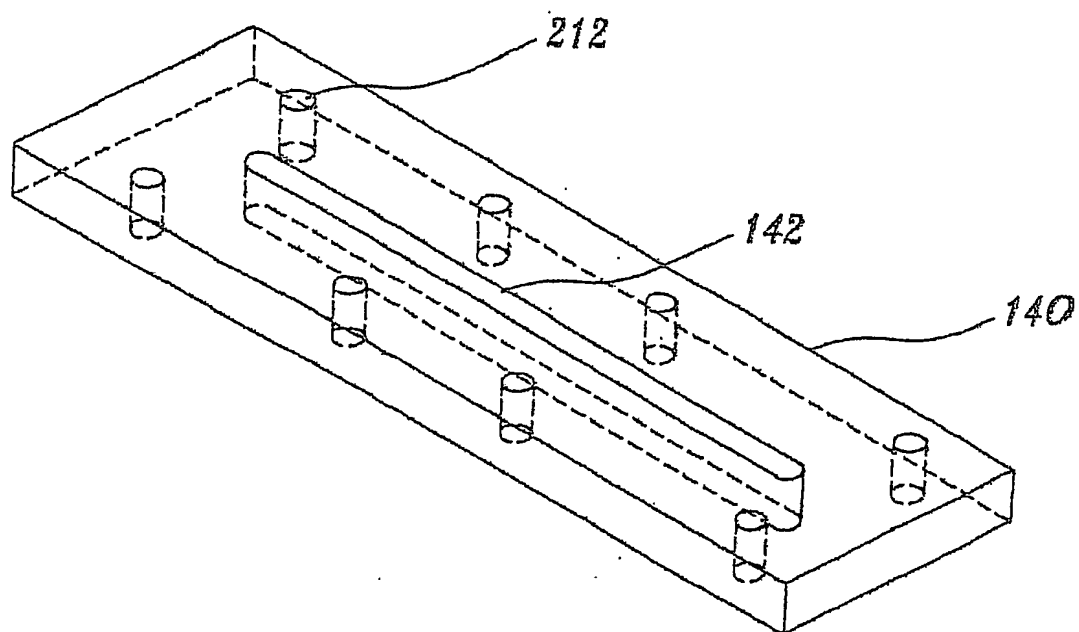
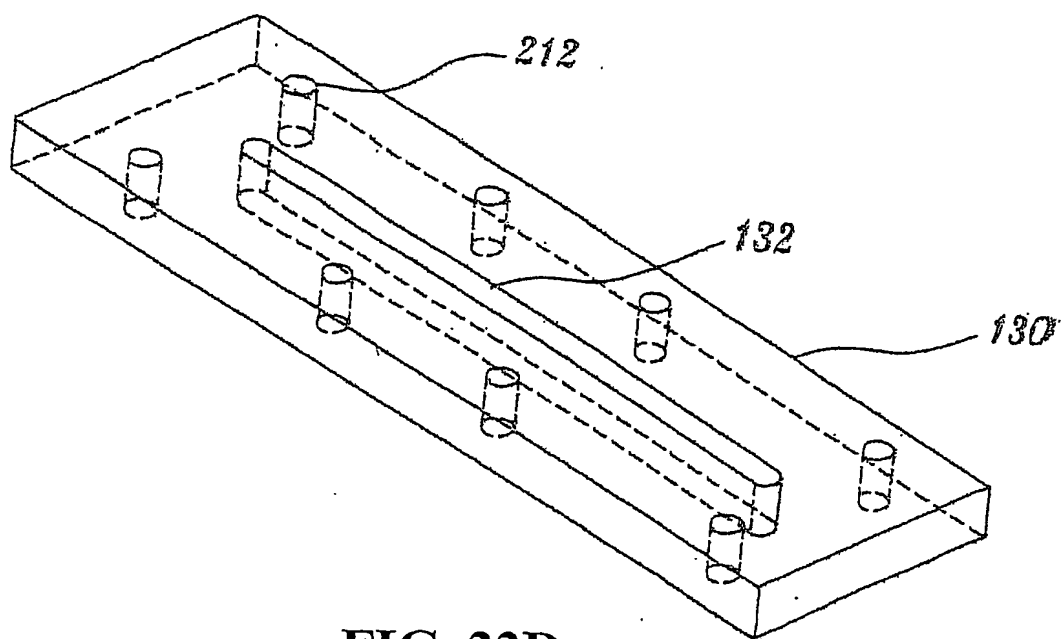


FIG. 21

**FIG. 22A**

**FIG. 22B**

**FIG. 22C**

**FIG. 22D**

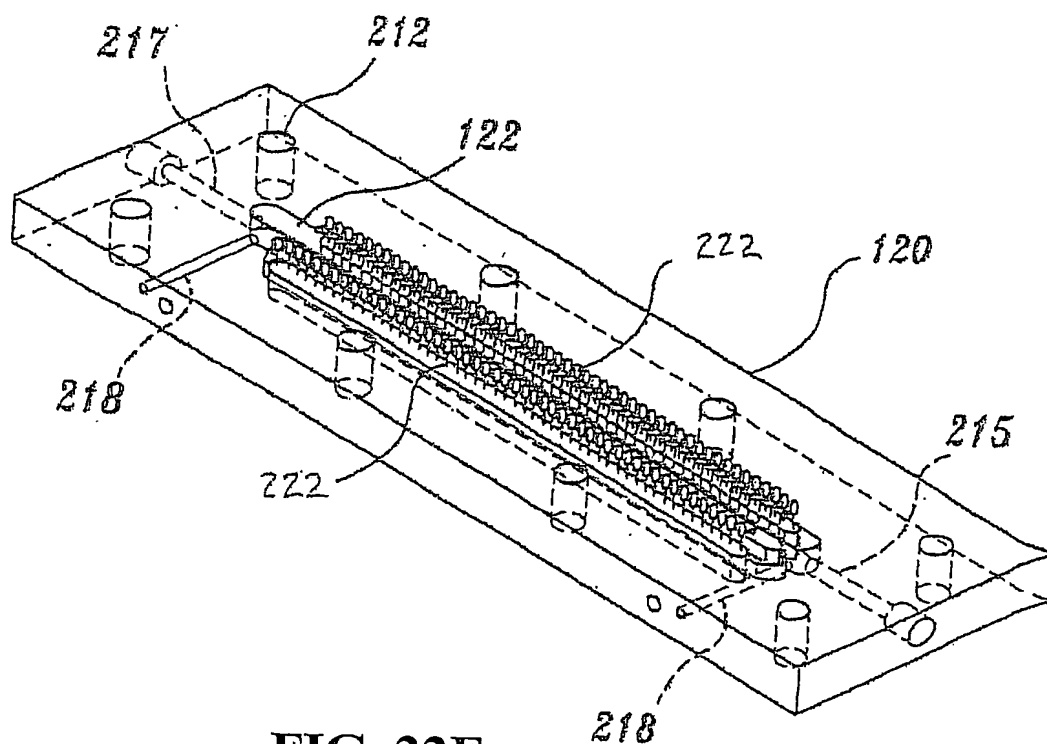


FIG. 22E

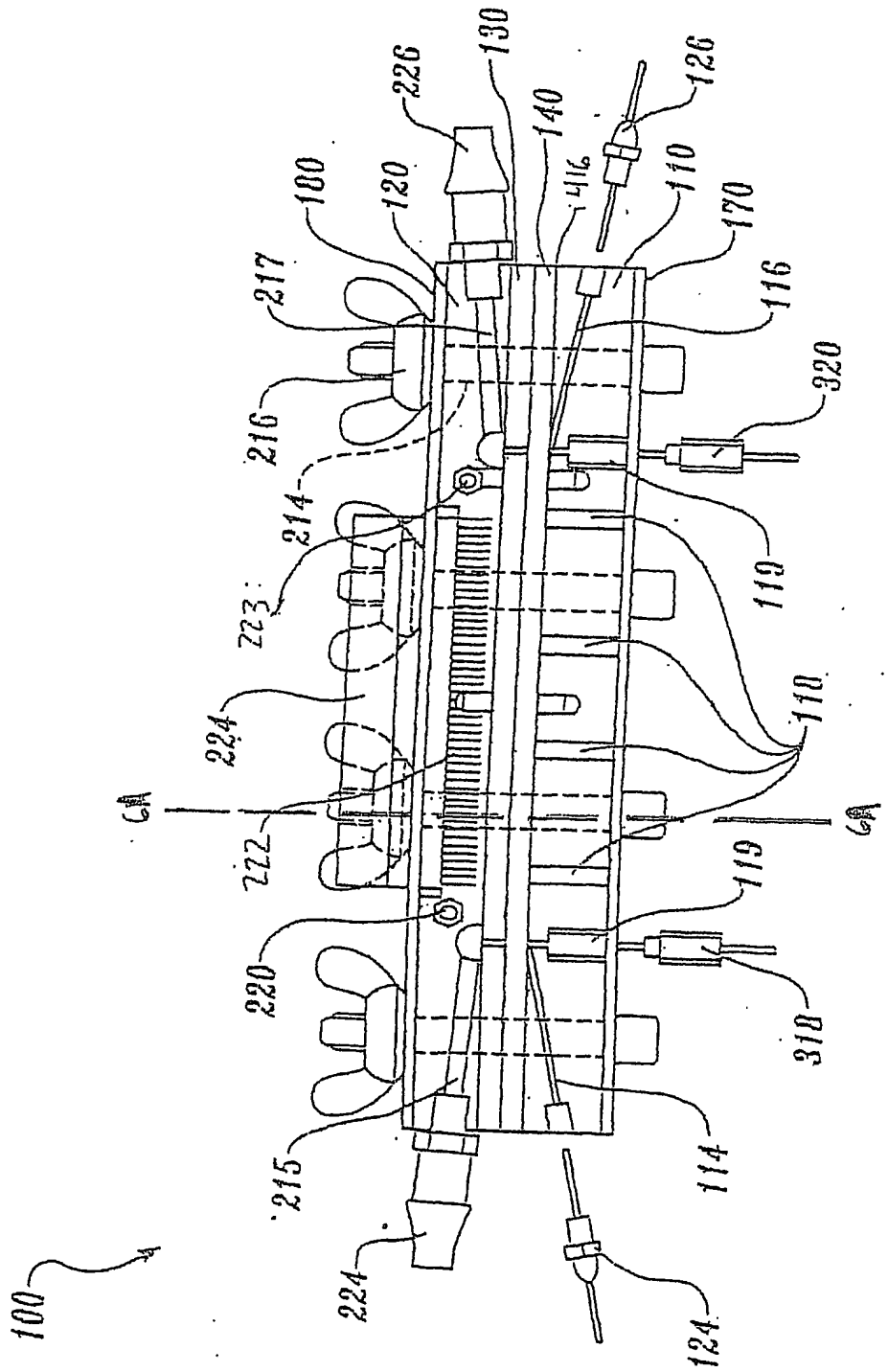


FIG. 23

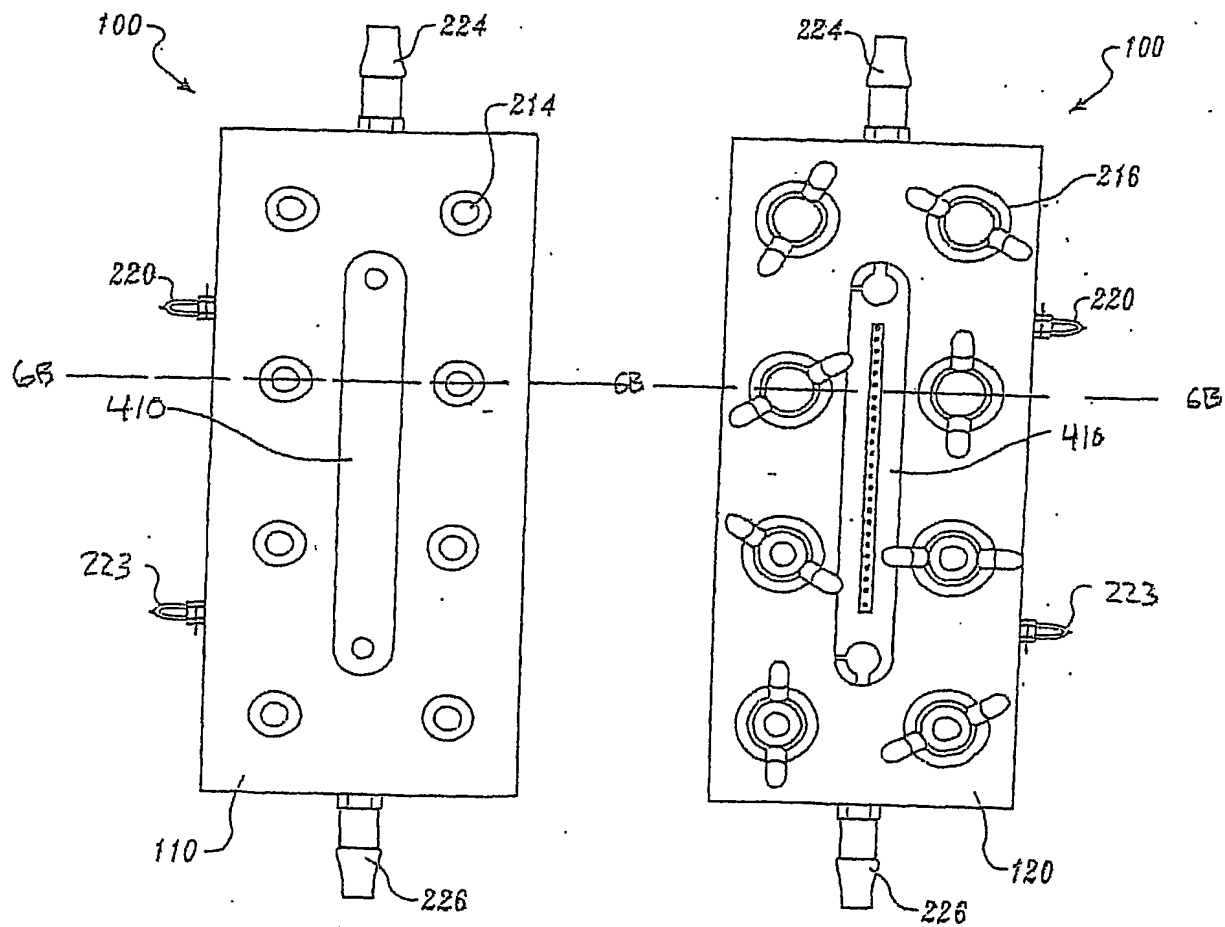


FIG. 24A

FIG. 24B

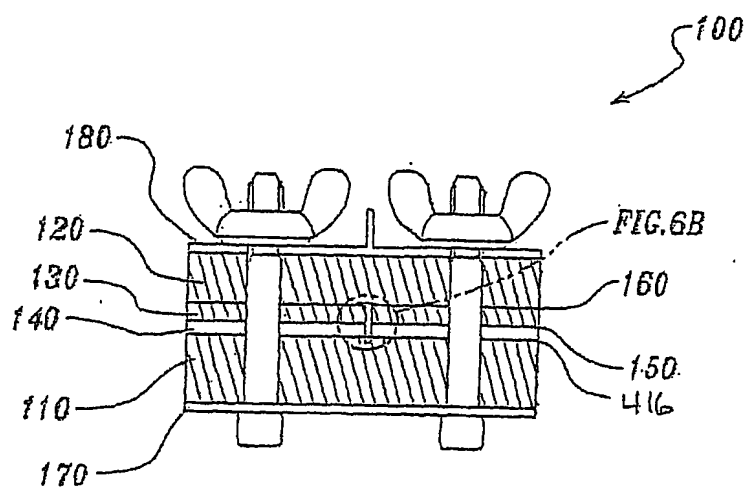


FIG. 25A

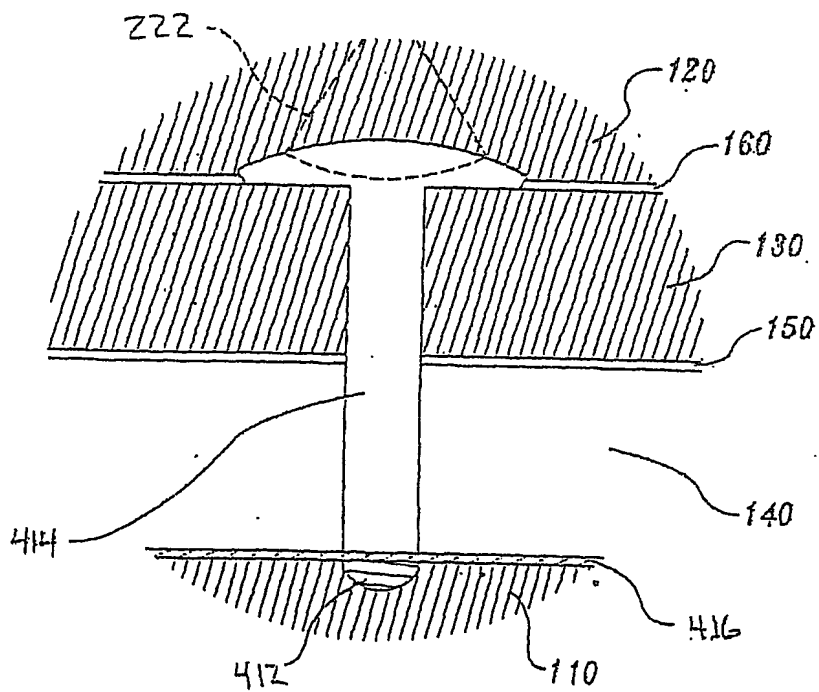


FIG. 25B

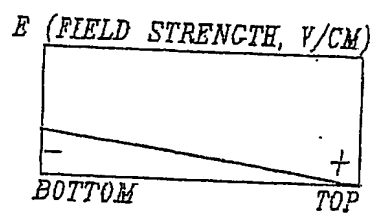


FIG. 26A

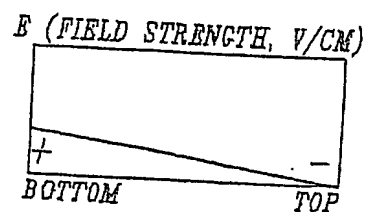


FIG. 26B

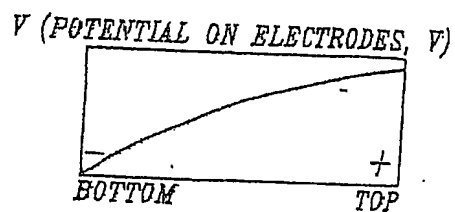


FIG. 26C

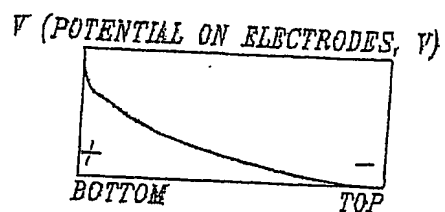


FIG. 26D

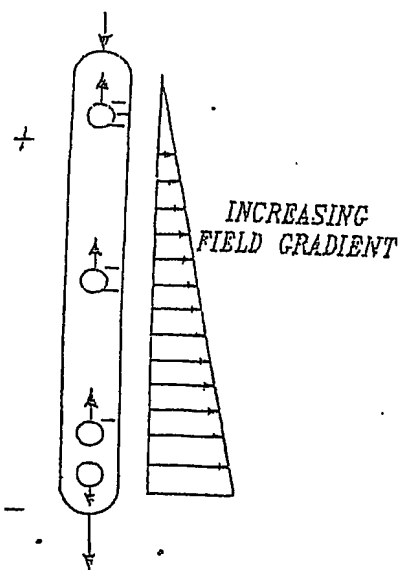


FIG. 26E

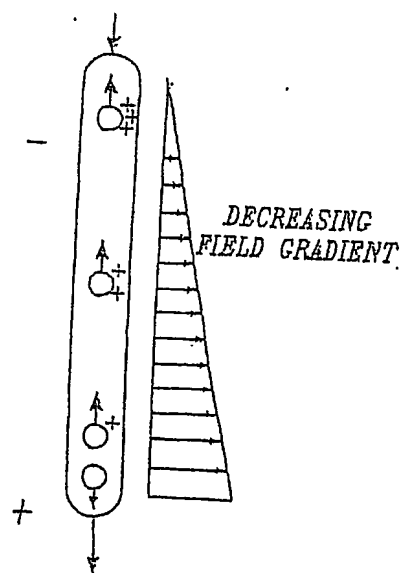
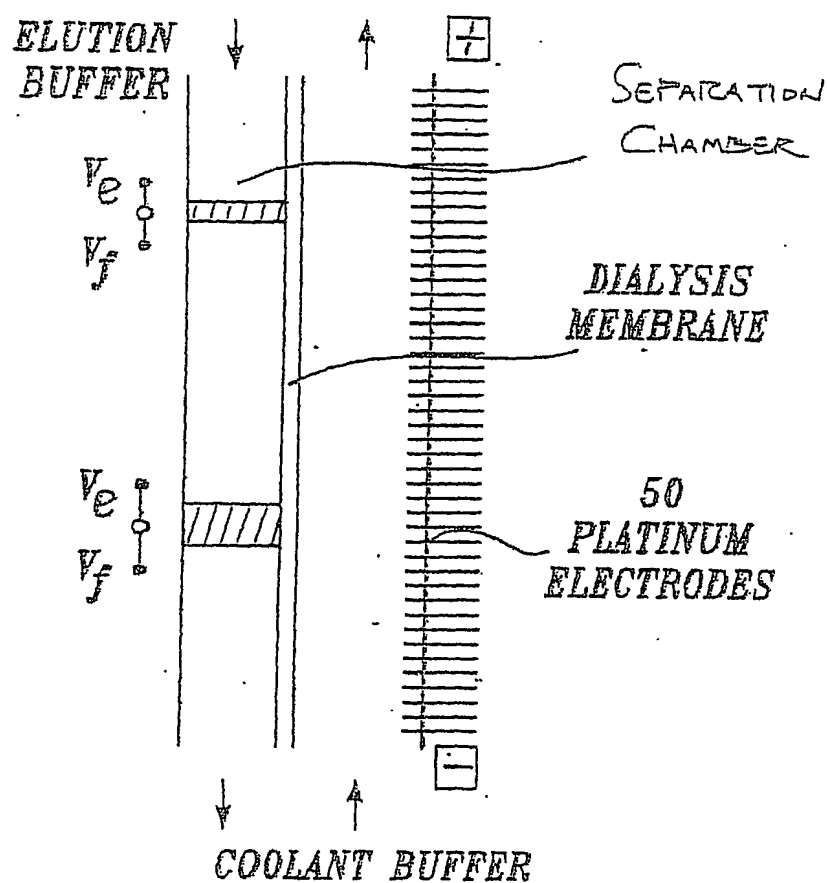


FIG. 26F



V_f MIGRATION RATE WITH ELUTION BUFFER
 V_e MIGRATION OF ELECTROPHORESIS
 $V_f = V_e$ AT EQUILIBRIUM ZONE

FIG. 27

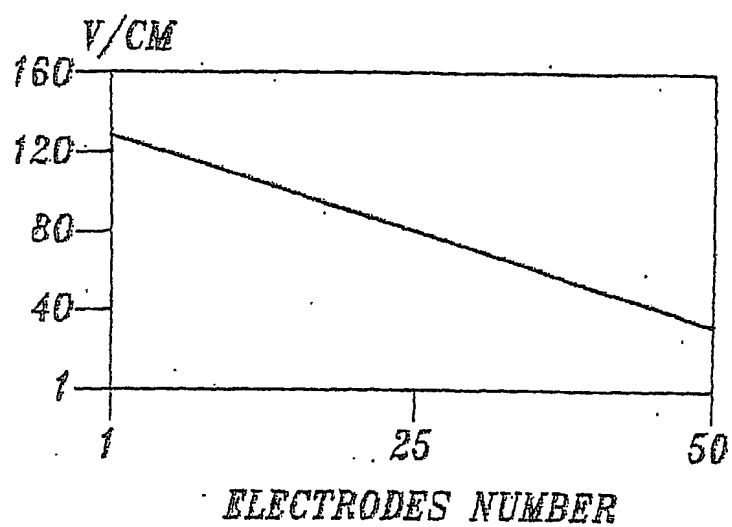


FIG. 28A

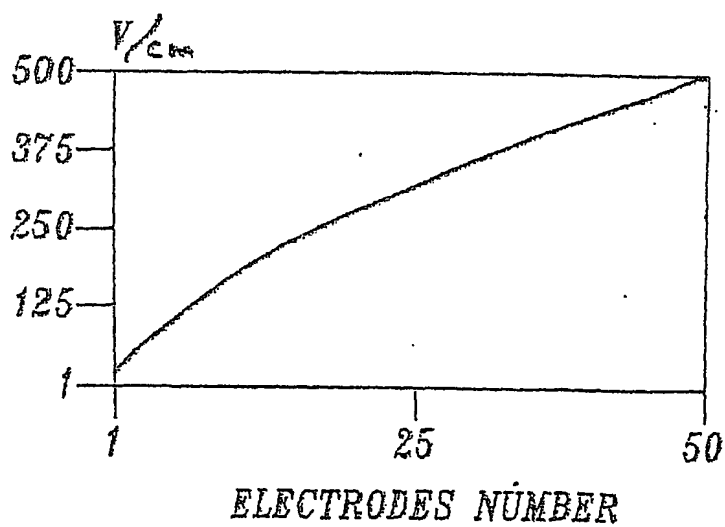
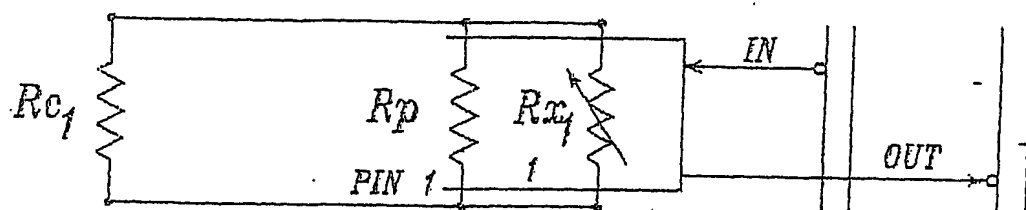


FIG. 28B

**FIG. 29**

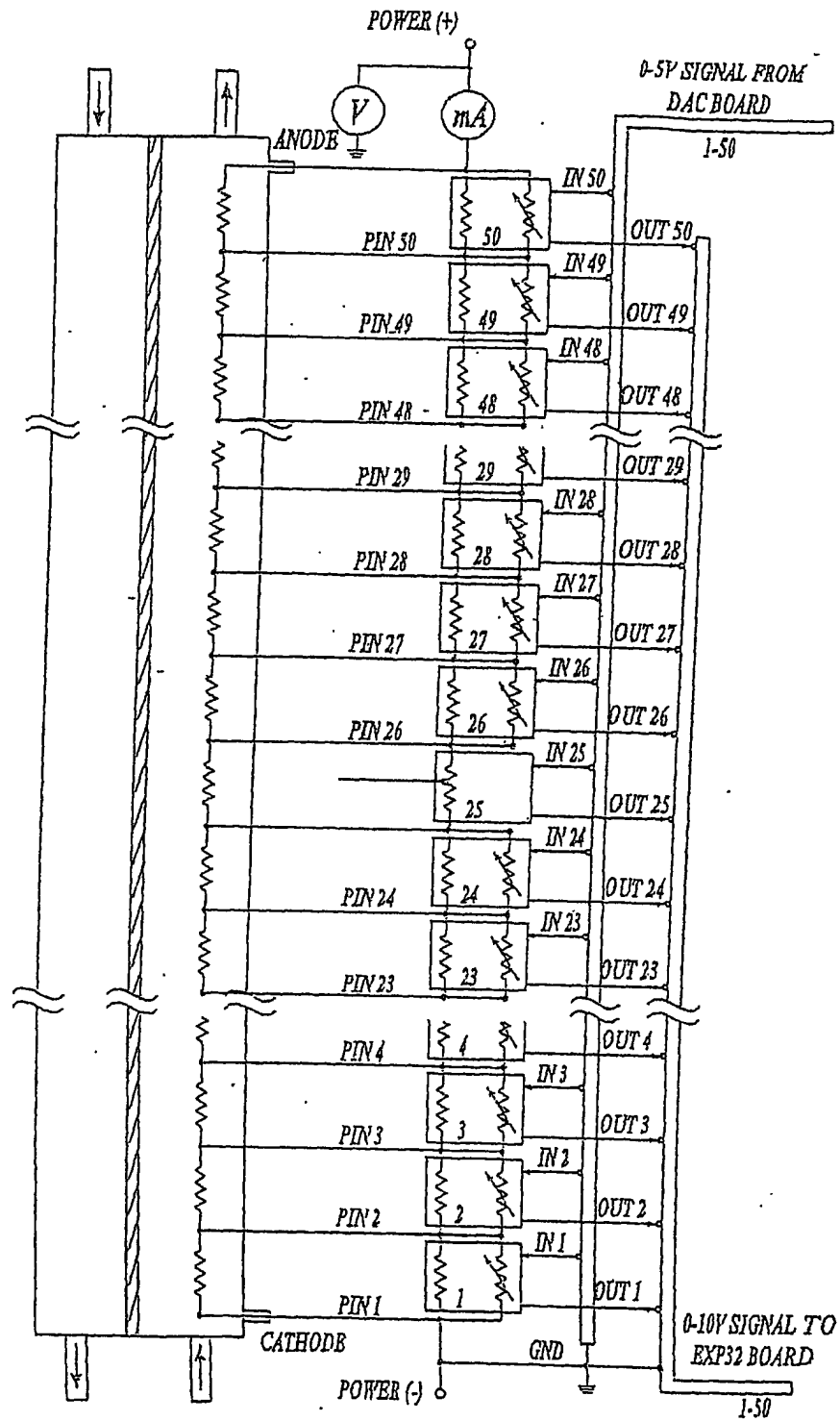


FIG. 30

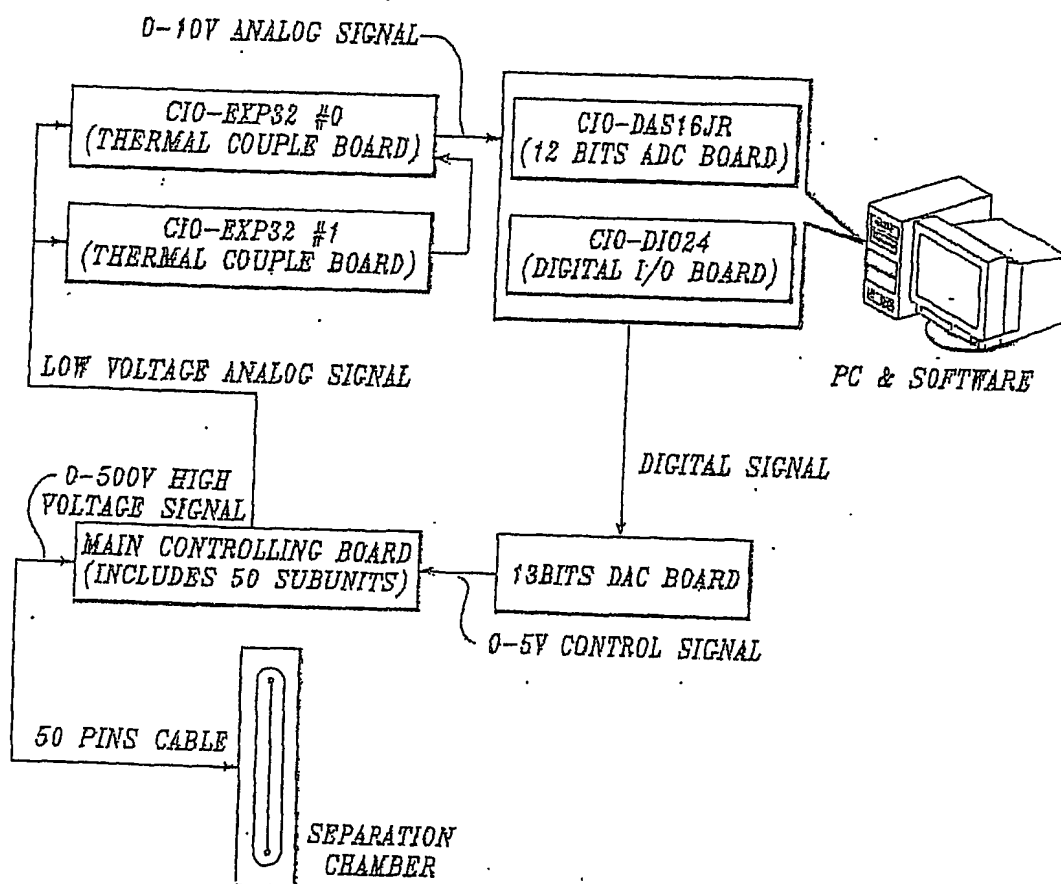


FIG. 31

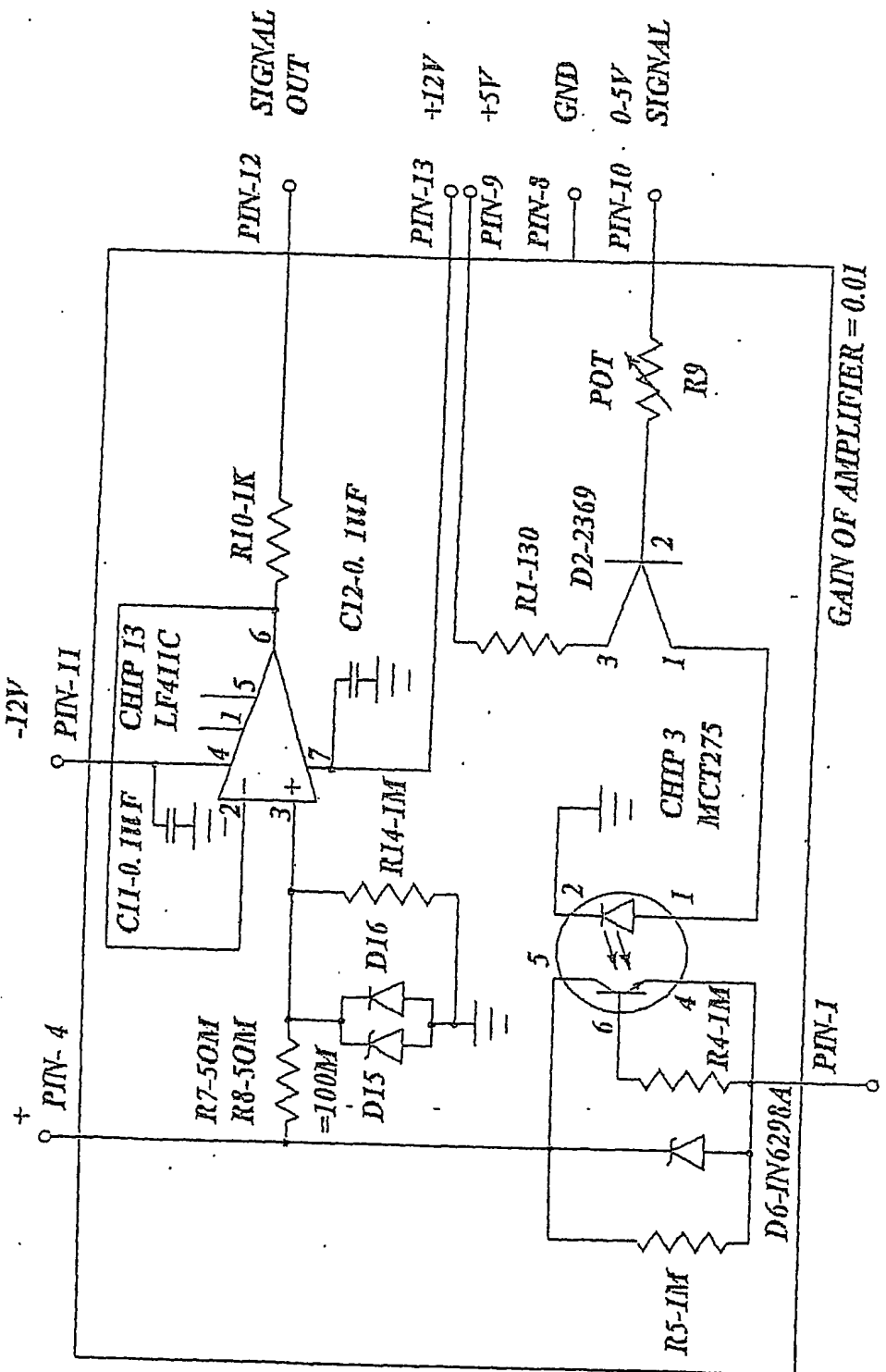


FIG. 32

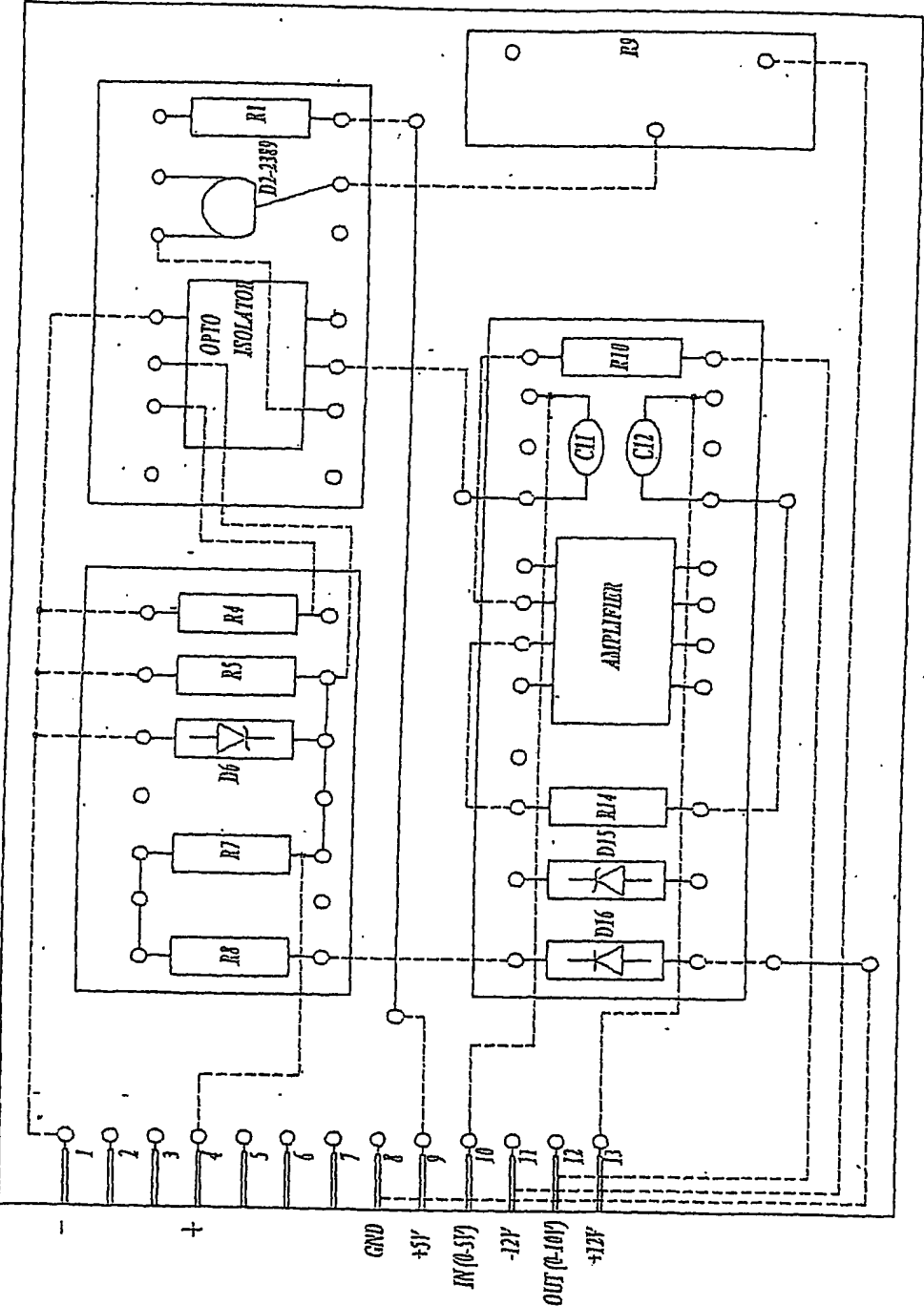


FIG. 33

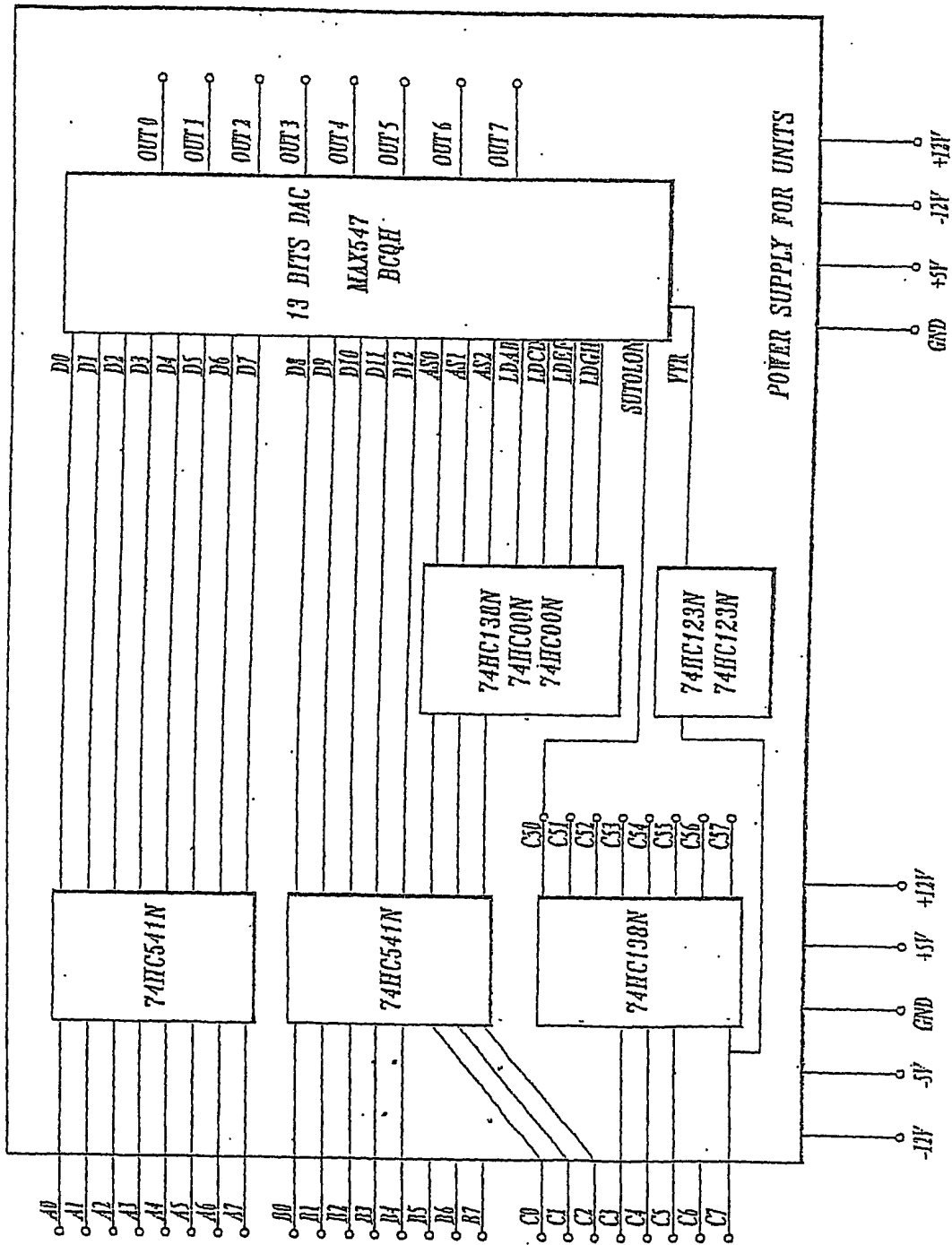


FIG. 34

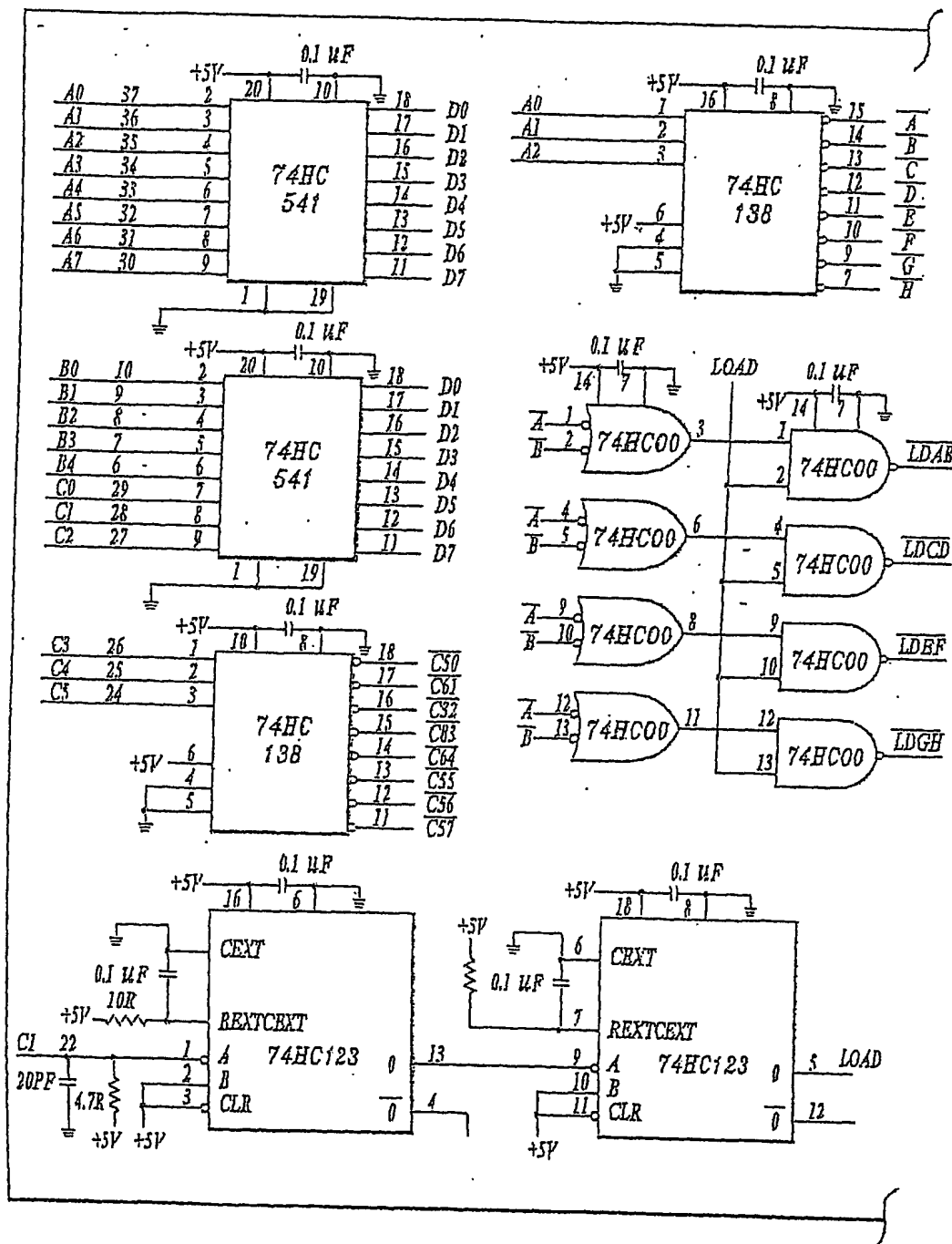


FIG. 35A

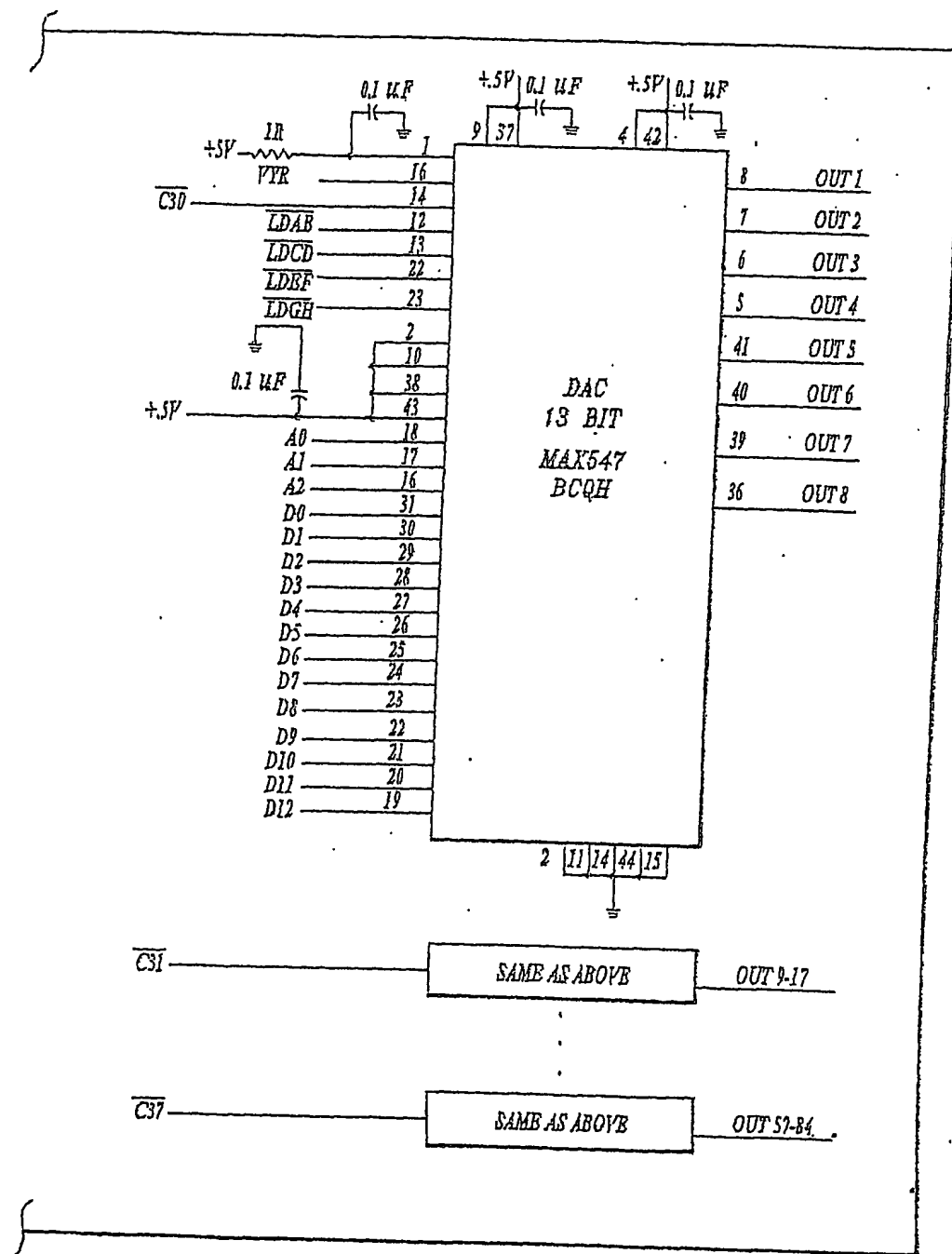


FIG. 35B

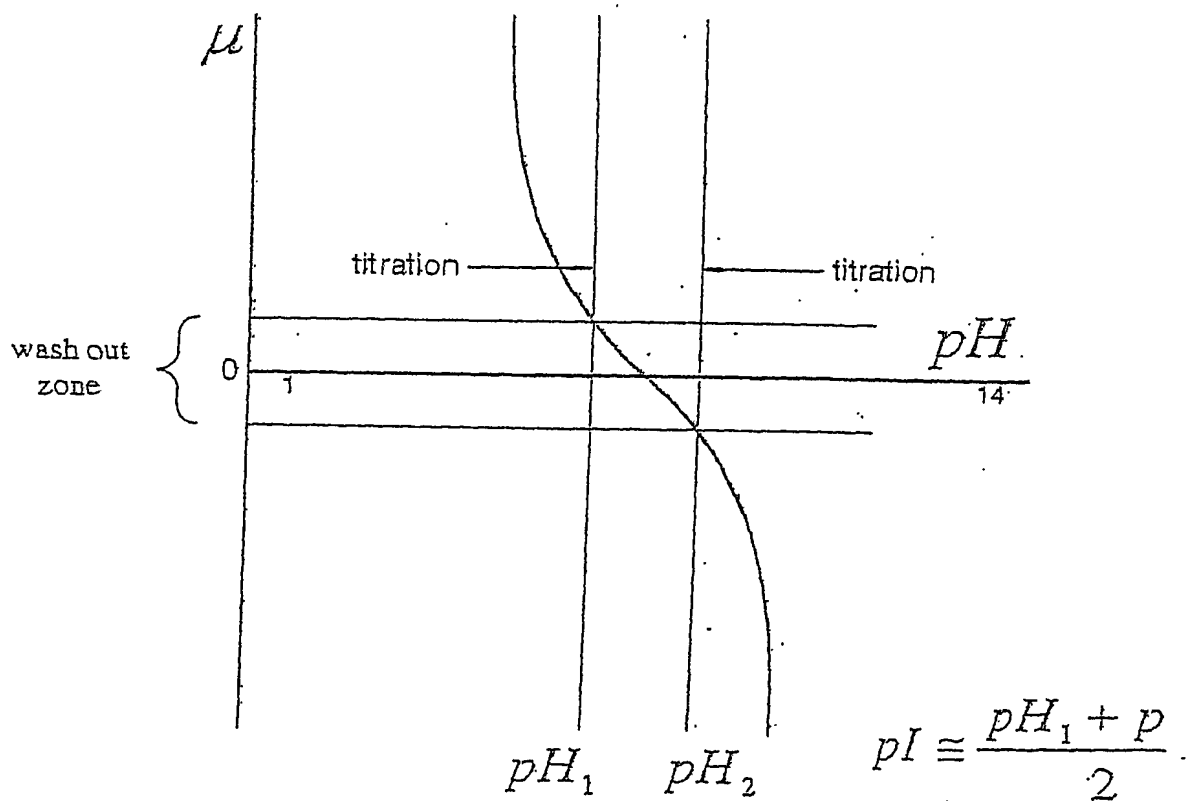


FIG. 36

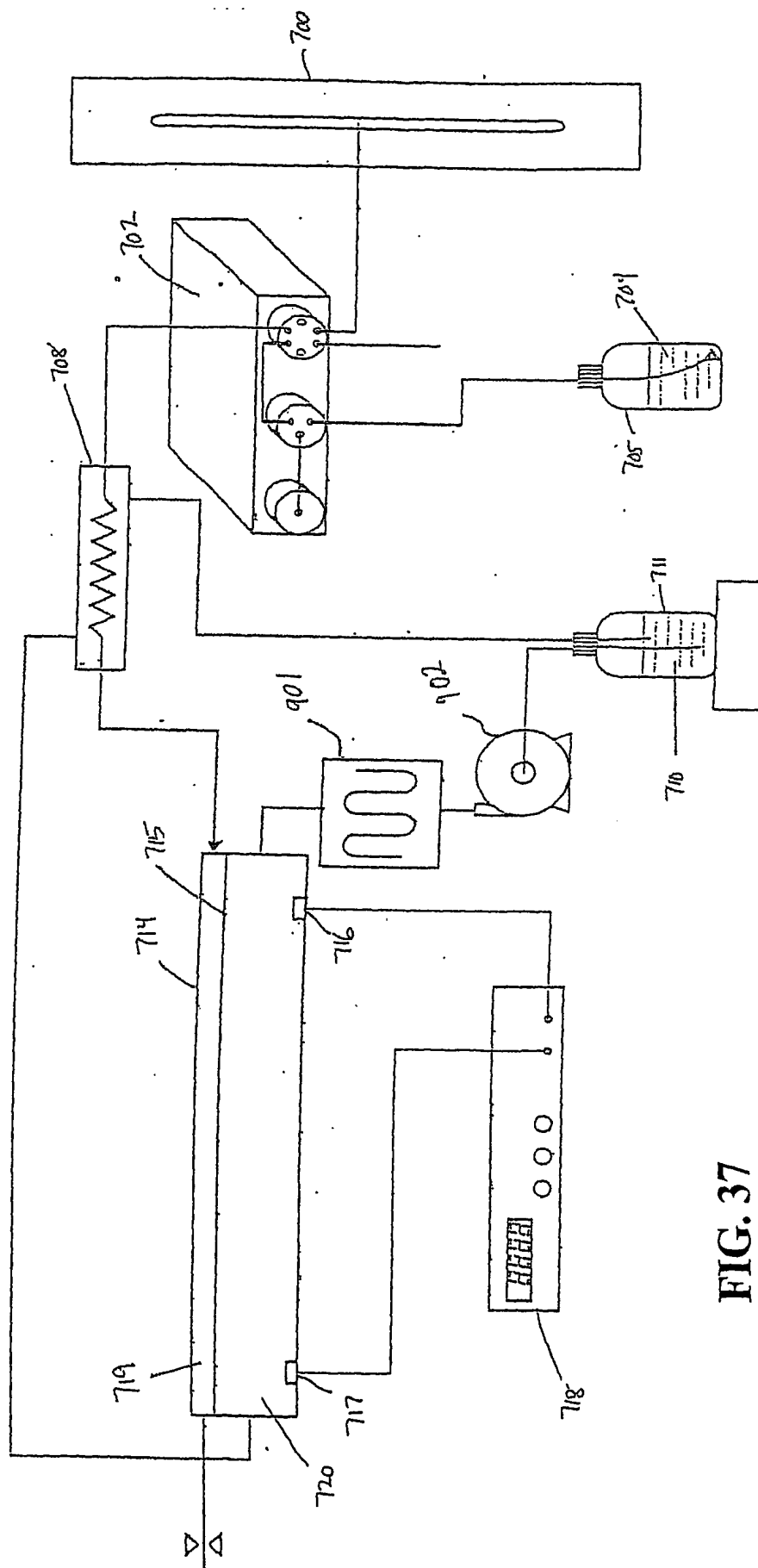


FIG. 37

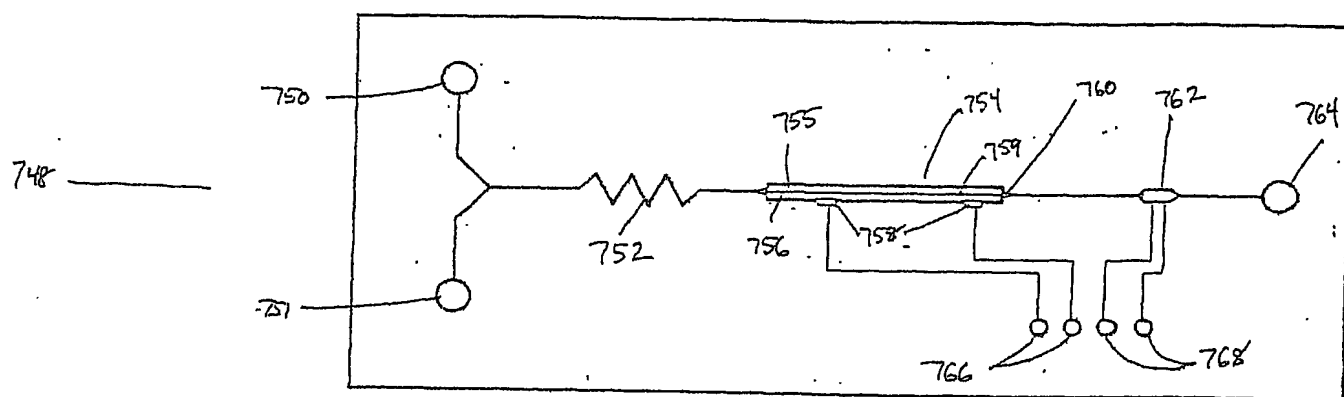


FIG. 38

FIG. 39A

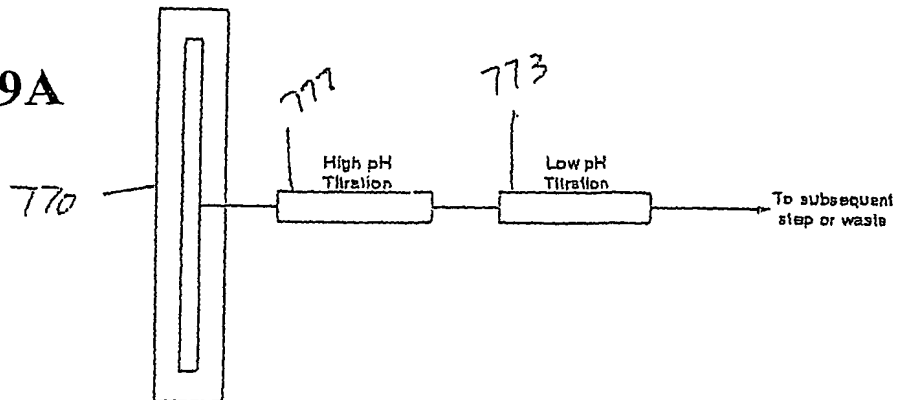


FIG. 39B

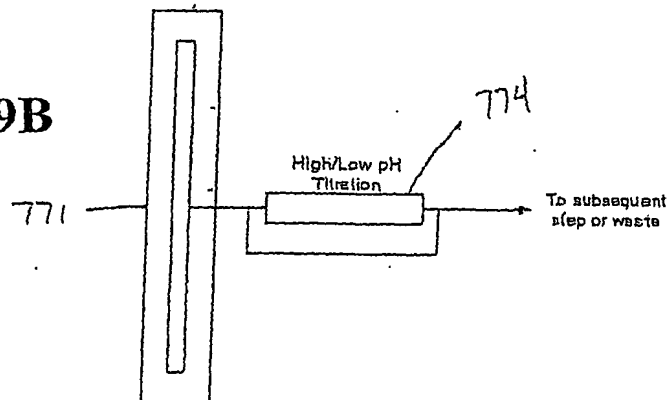


FIG. 39C

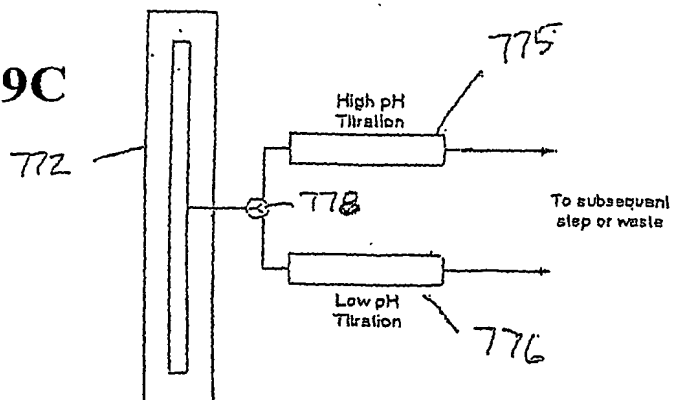
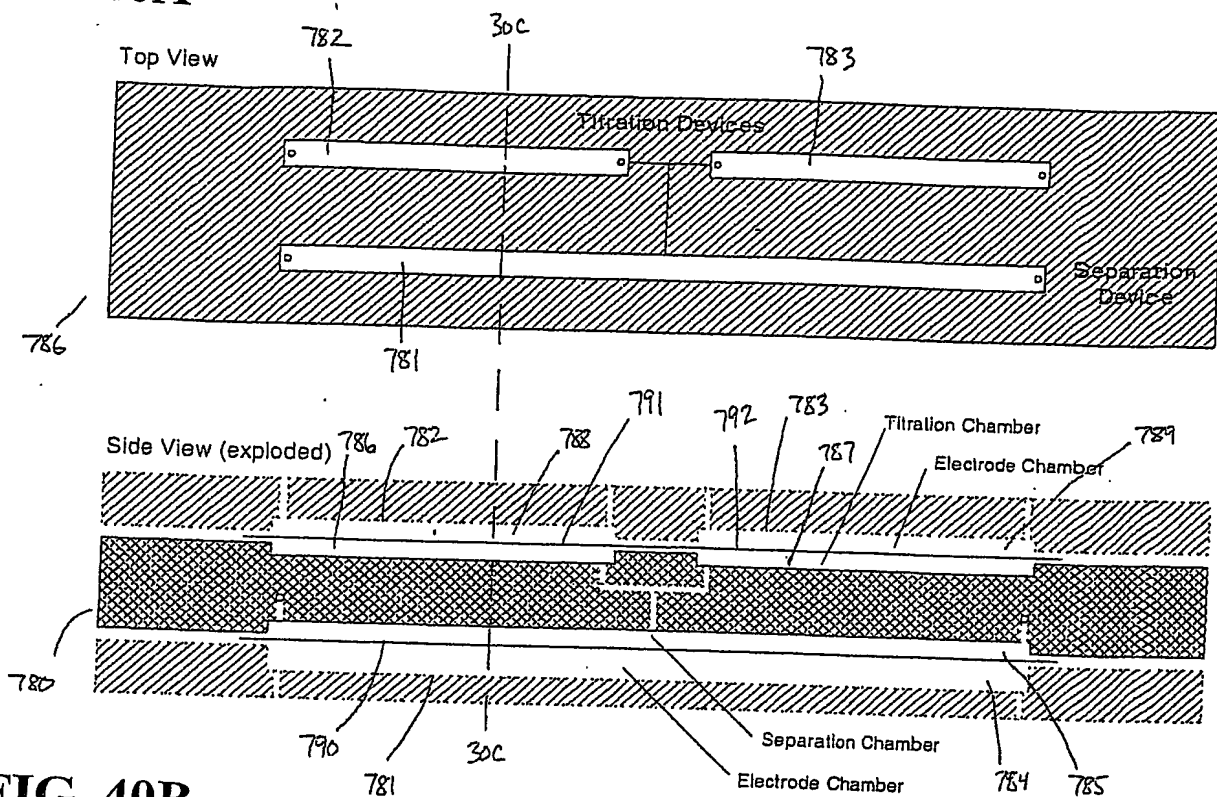
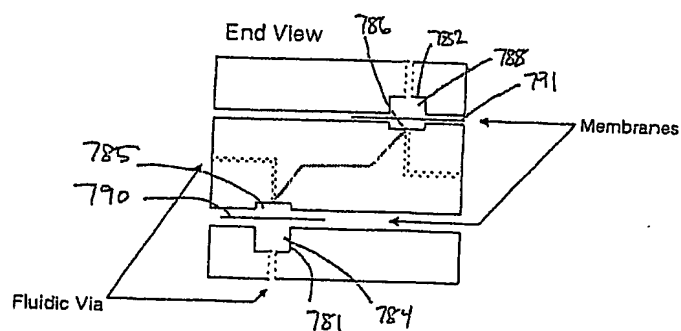
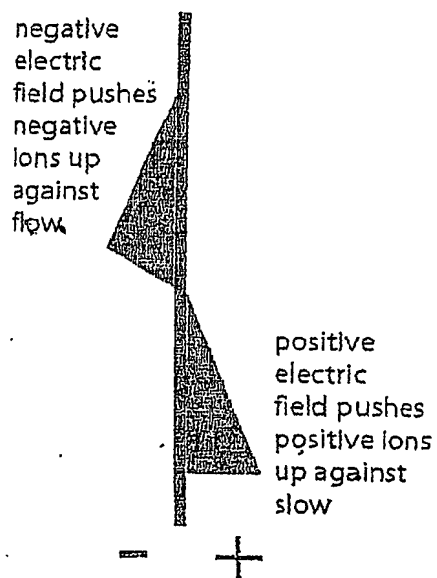
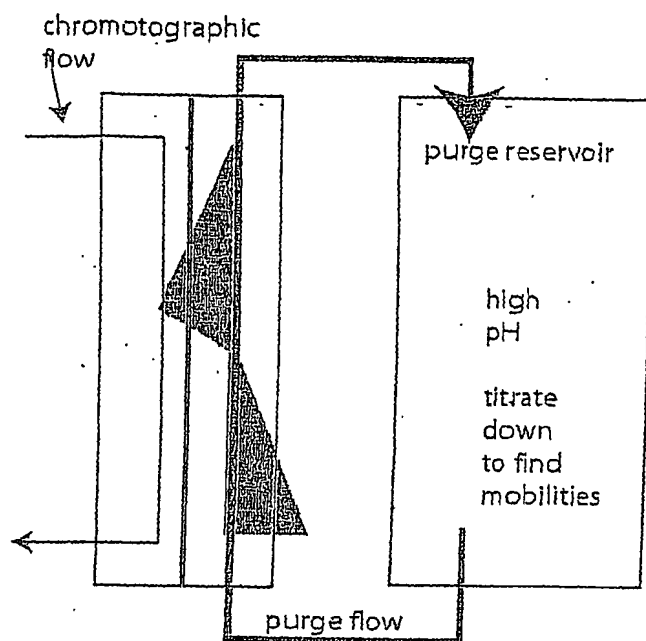
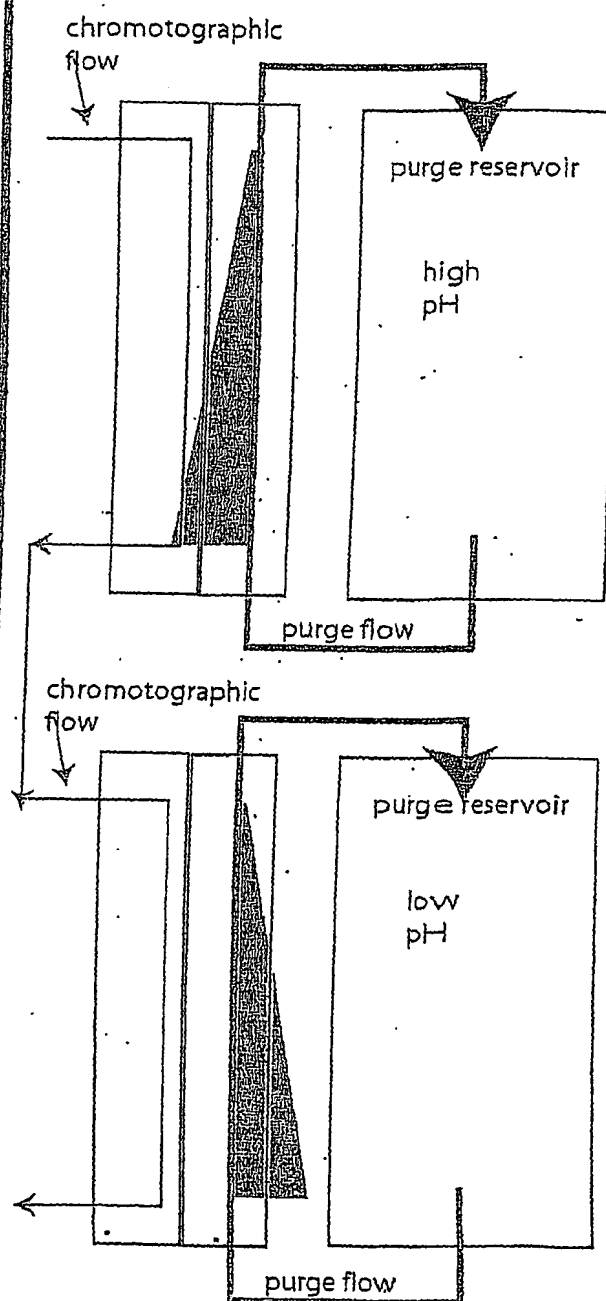


FIG. 40A**FIG. 40B****FIG. 40C**

Single DFGF chamber
with dual field.

**FIG. 41A**

Dual DFGF chamber
with dual field

**FIG. 41B**

40/40

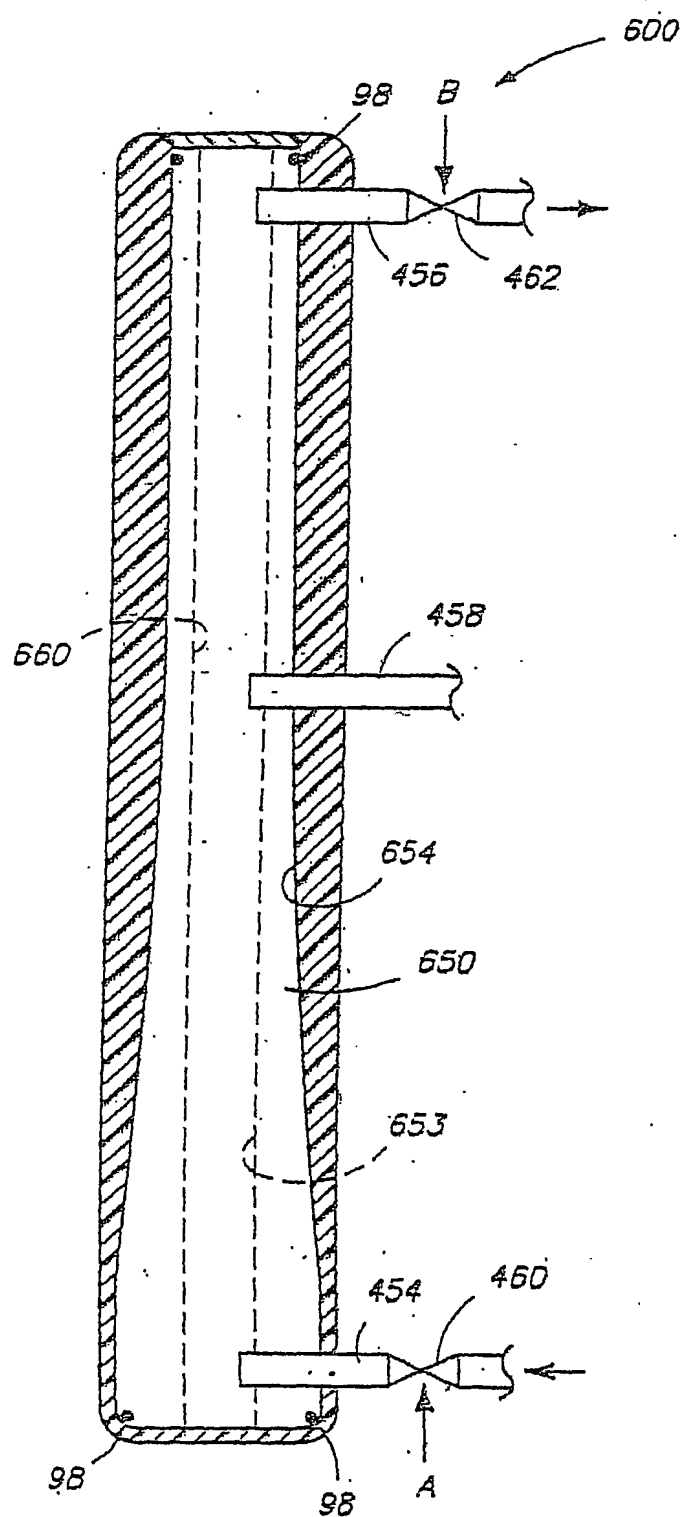


FIG. 42